

## ارزیابی تغییرات پوشش گیاهی در پاسخ به مقادیر سالانه بارش و دما در استان سمنان

مریم رئیسی: دانشجوی دکتری مهندسی منابع طبیعی، گروه بیابان‌زدایی، دانشکده کویرشناسی، دانشگاه سمنان، سمنان

علی‌اصغر ذوالفاری\*: دانشیار گروه آموزشی مدیریت مناطق خشک و بیابانی، دانشکده کویرشناسی، دانشگاه سمنان، سمنان

محمد رحیمی: استاد گروه آموزشی بیابان‌زدایی، دانشکده کویرشناسی، دانشگاه سمنان، سمنان

سید حسن کابلی: استادیار گروه آموزشی مدیریت مناطق خشک و بیابانی، دانشکده کویرشناسی، دانشگاه سمنان، سمنان

مقاله پژوهشی

تاریخ پذیرش: ۱۴۰۲/۰۶/۲۹      تاریخ دریافت: ۱۴۰۲/۰۴/۲۴

### چکیده

تغییرات شاخص تفاضل پوشش گیاهی نرمال‌شده (NDVI)، به‌طور عمده به تغییر در مؤلفه‌های اقلیمی مانند دما و بارش به‌ویژه در مناطق خشک و نیمه‌خشک وابسته است. اهداف پژوهش حاضر شامل ارزیابی تغییرات NDVI در ماه‌های مختلف از سال‌های ۲۰۰۱ تا ۲۰۲۰ است که با استفاده از روش‌های رگرسیون خطی، شب خطي و تعیین روابط بين شاخص NDVI و مؤلفه‌های اقلیمی بارش و دما در استان سمنان انجام می‌شود. در اين مطالعه، داده‌های باز تحليل شده شبکه‌اي بارش و دمای حاصل از پروداكت ERA5-Land و داده‌های NDVI حاصل از پروداكت MODIS طی سري زمانی بيشت ساله (۲۰۰۱-۲۰۲۰) در بررسی تغیيرات شاخص NDVI در استان سمنان واکاوی شد. تصحیح اربیبی داده‌های اقلیمی نیز با استفاده از روش نگاشت چندک (QM) انجام شد. همچنین روند تغیيرات شاخص NDVI با استفاده از روش رگرسیون خطی و شب خطي تخمين گر سين ارزیابی شد. پس از آن، ميزان ضريب تبيين — که ميزان ارتباط بين مؤلفه‌های دما و بارش را با پوشش گیاهی نشان مي‌دهد — محاسبه شد. نتایج حاصل از شب خطي رگرسیونی و شب خطي سين، در برآورد تغیيرات پوشش گیاهی نسبت به دو مؤلفه اقلیمی بارش و دما تقریباً مشابه بود. در ۷۵٪ از مساحت استان، ميزان ضرایب تبيين در ماه‌های نهم و دوازدهم میلادی (حدوداً و به ترتیب معادل ماه‌های شهریور و دی) حداکثر بود و به ترتیب ۵۶٪ و ۶۲٪ برآورد شد که ارتباط مثبت پوشش گیاهی را در ماه‌های مذکور با بارش سالانه تأیيد می‌کرد. در نیمی از مساحت استان نیز تغیيرات NDVI ماهانه نسبت به دمای سالانه طی بازه زمانی ۲۰۲۰-۲۰۰۱، صفر یا منفی بود؛ به طوری که در سال‌های ذکر شده ميزان پوشش گیاهی در ارتباط با دما تغیير نکرده یا اندکی کاهش يافته بود. همچنین در ۵۰٪ از مساحت استان، ميزان ضرایب تبيين بين شاخص NDVI و دمای سالانه از ۱۴٪ تا ۲۸٪ متغير بود و تنها در ۲۵٪ از استان، ارتباط ميان پوشش گیاهی در ماه‌های هشتمن تا دوازدهم میلادی (به طور تقریبی معادل ماه‌های مرداد تا دی) و دمای سالانه به بیش از ۴۰٪ رسیده بود.

وازگان کلیدی: تغیيرات شاخص NDVI، داده‌های باز تحليل شده ERA5-Land، شب خطي تخمين گر سين،

شب خطي رگرسیونی، مؤلفه‌های اقلیمی بارش، دمای سطح زمین.

## ۱- مقدمه

پوشش‌گیاهی یکی از مهم‌ترین مؤلفه‌های اکوسیستم‌های زمینی است که در تنظیم و تعادل کربن، تبادل انرژی و پایداری اقلیمی نقشی حیاتی بر عهده دارد (Duveiller et al, 2018 & Shen et al, 2016). همچنین پوشش‌گیاهی مهم‌ترین عامل در مدل‌های برآورد فرسایش و رسوب است که دینامیک آن بر چرخه هیدرولوژیکی و شرایط اقلیمی تأثیر می‌گذارد (Duan et al, 2020 & Jia et al, 2021). به عنوان مثال، در بسیاری از مطالعات انجام شده ارتباط بین شاخص تفاضل پوشش‌گیاهی نرمال‌شده (NDVI) و عامل پوشش‌گیاهی (C) به عنوان مهم‌ترین عامل در برآورد فرسایش خاک ارزیابی می‌شود. در سال‌های اخیر، استفاده از روش‌های سنجش از دور برای بررسی پوشش‌گیاهی در مقیاس‌های بزرگ افزایش یافته است. سنجش از دور، تصاویر پیوسته و با کیفیتی بالا را از تغییرات مکانی — زمانی رشد گیاه فراهم می‌کند (Hu and Xia, 2019 & Tao et al, 2018). یکی از شاخص‌های دریافت شده سنجش از دوری، شاخص تفاضل پوشش‌گیاهی نرمال‌شده (NDVI) است که از آن در ارزیابی پوشش‌گیاهی به‌طور گسترده استفاده قرار می‌شود. این شاخص، میزان فتوسنتز را با استفاده از باندهای مادون قرمز و مادون قرمز نزدیک<sup>۱</sup> محاسبه می‌کند و عموماً تحت تأثیر حضور کلروفیل است (Spadoni et al, 2020) و شرایط رشد گیاه را به‌طور دقیق نشان می‌دهد. پرداخت‌های حاصل از SPOT/VGT، NOAA/AVHRR و MODIS، داده‌های NDVI را برای تحلیل روند پوشش‌گیاهی فراهم می‌کند. از سوی دیگر، دما و بارش از مهم‌ترین شاخص‌های تأثیرگذار بر تغییرات شاخص NDVI است (Li et al, 2016). در ک ارتباط بین بارش، شاخص NDVI و دما در برنامه‌ریزی‌های جنگل‌کاری در یک منطقه اهمیت زیادی دارد (Garai et al., 2022). علاوه بر آن، پاسخ شاخص NDVI به مؤلفه بارش با نوع پوشش‌گیاهی تغییر می‌کند. عموماً نوع پوشش بوته‌زار، چمن‌زار و علفزار، به تغییرات بارش پاسخ قوی می‌دهند؛ در حالی که جنگل‌ها و درخت‌زارها نسبت به تغییرات بارش پاسخ ضعیفی نشان می‌دهند (Ding et al, 2007).

آنالیز روند دما به داده‌هایی با قدرت تفکیک مکانی بالا و پوشش جغرافیایی گسترده نیازمند است تا امکان بررسی و تحلیل روند و تغییرات را در مقیاس منطقه‌ای فراهم کند. داده‌های باز تحلیل شده دمای ERA5-Land از مرکز اروپایی پیش‌بینی‌های میان‌مدت آب و هوایی<sup>۲</sup> با قدرت تفکیک مکانی جهانی ۹ کیلومتر، این مشکل را برطرف می‌کند (Wang et al, 2022). داده‌های باز تحلیل شده، منبع مهمی از اطلاعات جوی است که در موارد بسیاری مانند مطالعات اقلیمی، هدلسازی‌های آب‌شناختی و پیش‌بینی عددی وضع هوا نقش به سزایی دارد Sam Khaniani and (Mohammadi, 2022). این داده‌ها ابزاری قدرتمند برای پژوهش‌های اتمسفری و منبع مهمی از متغیرهای جوی است که با ترکیب اندازه‌گیری‌های مختلف زمینی، ماهواره‌ای و اقیانوسی از یک مدل عددی فیزیکی — دینامیکی به دست می‌آید و در سال‌های اخیر، بسیاری از محققان به آن توجه داشته‌اند (Tarek et al, 2020). داده‌های باز تحلیل شده، اطلاعاتی درباره وضعیت گذشته اتمسفر در سطوح مختلف فراهم می‌کند و از این جهت، از آن در مطالعات دینامیک اتمسفری به‌طور گسترده استفاده می‌شود (Diallo et al, 2021 & Huth and Beranova, 2021). یکی از مزیت‌های استفاده از داده‌های آفلاین سطح زمین، پیوستگی زمانی آنهاست که به صورت دائم بروزرسانی می‌شود. داده‌های

<sup>1</sup> The Infrared (IR) and Near-Infrared (NIR) Bands

<sup>2</sup> European Centre for Medium-Range Weather Forecasts (ECMWF)

باز تحلیل شده اتمسفری چنین پیوستگی را دارد که به توسعه روش‌های خطایابی منجر می‌شود (Reichle et al, 2017 & Weedon et al, 2011). داده‌های باز تحلیل شده، رکوردهای طولانی مدت و پیوسته‌ای را از چندین متغیر اقلیمی مانند بارندگی فراهم می‌کند (Hu et al, 2019 & Sun et al, 2018)، بهمین دلیل، این داده‌ها جایگزینی بالقوه برای داده‌های مشاهداتی زمینی به خصوص در مناطق بدون ایستگاه یا با تعداد ایستگاه ناکافی است (Amjad et al, 2020). داده‌های باز تحلیل شده، هتأثر از خطای مشاهداتی و مدل‌سازی است که می‌تواند کارایی و عملکرد مدل را در ترکیب و پارامترسازی پردازش‌های کوچک مقیاس داده‌ها تحت تأثیر قرار دهد (Bližnák et al, 2022).

مطالعات اخیر نشان داده است که سری جدید داده‌های باز تحلیل شده ECMWF مانند ERA5 و ERA5-Land به نسخه‌های قدیمی خود عملکرد بهتری داشته است (Amjad et al, 2020 & Beck et al, 2019 & Gleixner et al, 2020 & Hamm et al, 2020 & Nogueira, 2020). در این راستا، از داده‌های ERA5-Land (Chen et al, 2021 & Pelosi et al, 2020 & Sheridan et al, 2020 & Stefanidis et al, 2021) برخلاف قابلیت این داده‌ها در گرفتن رخدادهای بارندگی و باز تولید پراکنش مکانی – زمانی این متغیر، در بیشتر آنالیزها اربیبی گزارش شده است (Gomis-Cebolla et al, 2023). خطایابی، رویکردی براساس تغییرات آماری است که می‌کوشد داده‌های مدل‌سازی شده را تنظیم و تعديل کند تا به متغیرهای اقلیمی مشاهداتی بسیار نزدیک شود (Gudmundsson et al, 2012). در این راستا برای حذف خطا یا به حداقل رساندن آن، روش‌های زیادی توسعه داده شده و از آن استفاده شده است که روش نگاشت چندک (QM)<sup>1</sup>، یکی از پرکاربردترین این روش‌ها است که براساس اصلاح بهوسیله چندک‌ها عمل می‌کند (Ghalami et al, 2022). در پژوهش‌های زیادی به استفاده از این روش توصیه شده است؛ زیرا استفاده از آن سبب شده نتایج کیفیت بالایی داشته باشد.

در پژوهشی، Zhe and Zhang (2021) در پاسخ به تغییرات متغیرهای اقلیمی بارش و دمای ماهانه طی سال‌های ۲۰۰۰ تا ۲۰۱۸ در جنوب تبت در چین، به بررسی الگوهای مکانی — زمانی پوشش گیاهی پرداختند. نتایج نشان داد که متوسط سالانه رشد فصلی NDVI در حوضه، ۰/۲۸ با حداقل مقدار در مناطق کوهستانی و بیشترین مقدار پراکنش در رودخانه‌ها و دریاچه‌ها بود. روند افزایشی شاخص NDVI در حدود ۶۲ درصد از تمامی پوشش منطقه در جنوب و غرب حوضه، همراه با تغییرات معنی‌دار بود؛ در حالی که مناطق شرقی کاهش پوشش گیاهی را نشان داد. در فصل رشد NDVI ضریب تبیین مثبتی با بارش و دما داشت که دما مؤلفه و محرك اصلی رشد پوشش گیاهی در تمامی حوضه بود. ضریب تبیین بین شاخص NDVI، دما و بارش بیش از ۰/۶ در حدود ۷۷٪ و ۶۰٪ به ترتیب در مناطق دارای پوشش بود. Huang و همکاران (2020) به بررسی تغییرات پوشش گیاهی بر اساس شاخص NDVI در مناطق کوهستانی کن چین طی سه دهه گذشته پرداختند. نتایج نشان داد که این مقادیر از ۰/۶۲۴ به ۰/۷۷۶ طی ۳۲ سال اخیر افزایش یافته‌است. همچنین میانگین شاخص NDVI در دامنه‌های ارتفاعی مختلف تغییر کرده؛ به طوری که این شاخص در مناطق با ارتفاع کمتر از ۳۳۰۰ متر به ویژه در اراضی زراعی افزایش یافته است (Huang et al, 2020). در مطالعه‌ای دیگر، Ghebrezgabher و همکاران (2020) به بررسی فصلی تغییرات NDVI طی سال‌های ۱۹۸۲ تا ۲۰۱۳ در آفریقا پرداختند. ارتباط بین شاخص‌های اقلیمی دما و بارش با مقادیر NDVI بررسی شد. نتایج نشان داد که این شاخص با بارش، نسبت

<sup>1</sup> Quantile Mapping

مستقیم و با دما نسبت معکوس دارد. همچنین متوسط مقادیر NDVI به تدریج از سال ۱۹۸۲ تا ۱۹۹۸ به دلیل تغییرات بارش از سال ۱۹۹۸ تا ۲۰۱۳ کاهش یافته است؛ به طوری که جنگل‌ها حدود ۰/۴ درصد طی دو دهه گذشته کاهش یافته است. Zhe and Zhang (2021) به بررسی الگوهای زمانی — مکانی پوشش‌گیاهی و پاسخ آن به متغیرهای اقلیمی در یازده ایستگاه هواشناسی طی سال‌های ۲۰۰۰ تا ۲۰۱۸ در حوضه Yamzhog Yumco در جنوب تبت پرداختند. این امر با استفاده از داده‌های ماهانه دما و بارش و شاخص NDVI صورت گرفت. براساس نتایج، شاخص NDVI در فصل رشد ضریب تبیین مثبتی با بارش و دما داشت؛ به طوری که دما عامل محرك اصلی برای رشد پوشش‌گیاهی در تمامی حوضه بود. علاوه بر آن، میزان ضریب تبیین میان شاخص NDVI، دما و بارش بزرگ‌تر از ۰/۶ به ترتیب در حدود ۷۷٪ و ۶۰٪ از مناطق دارای پوشش‌گیاهی بود. Shabanipoor و همکاران (2019) نیز به بررسی تحلیل روند بلندمدت پوشش‌گیاهی در استان کردستان پرداختند. این امر با استفاده از شاخص NDVI از سری تصاویر مادیس طی سال‌های ۲۰۰۰ تا ۲۰۱۷ انجام شد. نتایج حاصل از تحلیل روند به روش رگرسیون حداقل مربعات معمولی و ناپارامتریهای تیل — سن، کاملاً مشابه و بیانگر افزایش ناچیز NDVI بود. افزون برآن، نتایج من — کندهای ۹۷٪ منطقه، روند افزایشی و حدود ۴۶٪ روند کاهشی داشت. در برخی از بخش‌های استان نیز روند افزایشی بسیار ناچیز و با شبیه رگرسیونی کم مشاهده شد (Shabanipoor et al, 2019). در مطالعه‌ای دیگر، Wang و همکاران (2022) با استفاده از داده‌های MODIS، میزان تغییرات دمای سطح زمین را طی سال‌های ۲۰۰۱ تا ۲۰۲۰ در مقیاس‌های جهانی، قاره‌ای و پیکسل به پیکسل<sup>۱</sup>، همچنین داده‌های مدل‌سازی شده ERA5-Land را از سال ۱۹۸۱ بررسی کردند. نتایج نشان داد که روند تغییرات دمایی در دوره کوتاه ۲۰۰۰–۲۰۰۱، به طور ویژه‌ای روند دما را در بلندمدت (۱۹۸۱–۲۰۲۰) توجیه کرد و با آن مطابقت داشت. همچنین در دوره زمانی ۲۰۰۰–۲۰۰۱، متوسط تغییرات دمایی در سطح زمین در هر دهه ۰/۲۶ درجه سانتیگراد بود که در مناطق مختلف میزان گرمایش متفاوتی را نشان می‌داد (Wang et al, 2022). در مطالعه‌ای، داده‌های بارش ماهانه شبکه‌ای توسط روش نگاشت چندک، اصلاح اریبی شد و همبستگی داده‌های اصلاح اریبی شده با داده‌های مشاهداتی نشان داد که در ۵۰٪ ایستگاه‌ها، همبستگی بهبود یافته است (Ghalami et al, 2022).

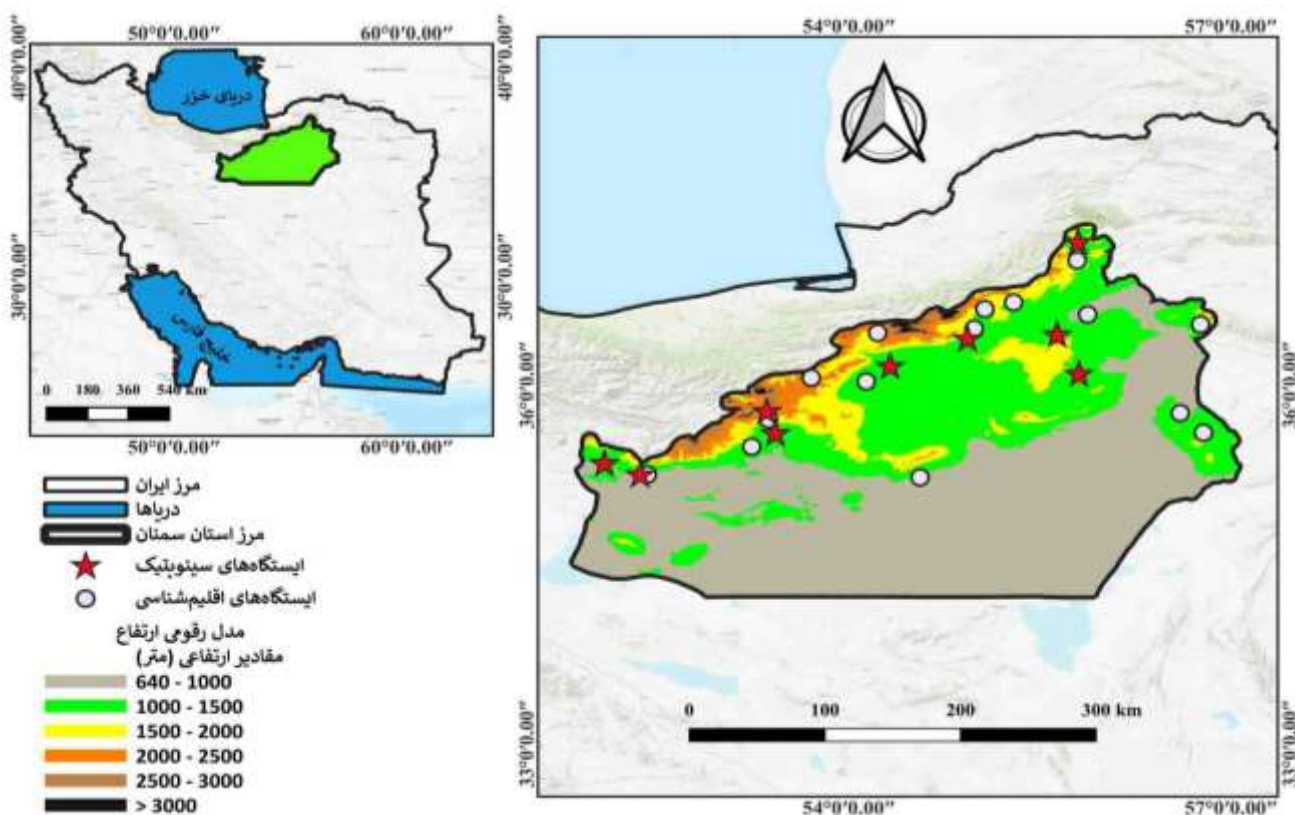
استان سمنان، اقلیم خشک و نیمه‌خشک و اکوسیستمی شکننده دارد که این خصوصیت محیطی به آسیب‌پذیری منطقه نسبت به فرسایش منجر می‌شود؛ به همین دلیل، ارزیابی پوشش‌گیاهی به عنوان عاملی حفاظتی در برابر فرسایش‌های آبی و بادی ضرری است؛ از این رو اهداف پژوهش حاضر، ارزیابی و پایش تغییرات سالانه NDVI از سال ۲۰۰۱ تا ۲۰۲۰ با استفاده از روش‌های رگرسیون خطی و شبیه خط سن، و بررسی و تعیین روابط بین شاخص NDVI و مؤلفه‌های اقلیمی بارش (mm/year) و دما (°C/year) در استان سمنان است.

## ۲- منطقه مورد مطالعه

منطقه مطالعاتی در پژوهش حاضر، استان سمنان واقع در بخش مرکزی ایران با مساحتی در حدود ۹۷۴۹۱ کیلومتر مربع است که ۵/۹ درصد از مساحت کل کشور ایران را در بر می‌گیرد (شکل ۱). این استان در ۳۷°۲۰'۳۴°۱۳' عرض شمالی و ۵۱°۵۱'۵۷°۰' طول شرقی قرار دارد. شهرستان سمنان مرکز این استان است و از شمال به استان‌های خراسان

<sup>۱</sup> Pixel-wise

شمالی، مازندران و گلستان، از جنوب به استان‌های خراسان جنوبی و اصفهان، از شرق به استان‌های خراسان رضوی و از غرب به استان‌های تهران و قم محدود می‌شود. این استان در دامنه جنوبی کوه‌های البرز قرار دارد که ارتفاع آن از شمال به جنوب کاهش می‌یابد و به دشت کویر متنه می‌شود (Zakeri et al, 2020). مقادیر بیشینه، کمینه و متوسط سالانه دما در استان به ترتیب برابر با  $23/7$ ،  $12/8$  و  $18/3$  درجه سانتیگراد متغیر است. همچنین، متوسط سالانه بارش در استان حدود ۱۳۶ میلی‌متر در سال برآورد شده است (Amini et al, 2022). تغییرات ارتفاع در استان نیز نسبتاً زیاد است و از ۶۴۰ متر در نواحی جنوبی استان تا بیش از ۴۰۰۰ متر در بخش‌های شمالی متغیر می‌باشد (شکل ۱).



شکل ۱: موقعیت قرارگیری استان سمنان در ایران و شماتیک تغییرات ارتفاعی و پراکنش ایستگاه‌های سینوبتیک و اقلیم‌شناسی در استان سمنان

### ۳- مواد و روش

#### استخراج شاخص NDVI

شاخص‌های پوشش‌گیاهی سنجنده مادیس، در فواصل شانزده روزه و با قدرت‌های تفکیک مکانی متفاوتی تولید می‌شود. این شاخص‌ها، قیاس‌های مکانی و زمانی ثابتی را از میزان سبزینگی تاج‌پوشش‌گیاهی، ویژگی‌های ترکیبی<sup>۱</sup> سطح برگ، کلروفیل و ساختار تاج‌پوشش فراهم می‌کند. یکی از این شاخص‌ها که از بازتاب تصحیح شده اتمسفری و طول موج‌های قرمز، مادون قرمز و آبی استخراج می‌شود، شاخص تفاضل پوشش‌گیاهی نرمال‌شده (NDVI)<sup>۲</sup> است.

داده‌های شاخص NDVI حاصل از پروداکت Terra MODIS با قدرت تفکیک مکانی پانصد متر، برای ارزیابی و پایش تغییرات پوشش‌گیاهی در استان سمنان طی سال‌های ۲۰۰۱ تا ۲۰۲۰ در مقیاس ماهانه طی بیست سال در فضای ابری گوگل ارث‌انجین (GEE) پردازش شد. از مقادیر میانه شاخص NDVI در روش کامپوزیت برای به حداقل رساندن اثرات پوشش ابری، زاویه اسکن و زاویه تابش خورشیدی استفاده شد (Holben, 1986). تصاویر موردنظر، شامل شاخص‌های پوشش‌گیاهی است که از آن برای پایش جهانی پوشش‌گیاهی، نمایش پوشش زمین و تغییرات پوشش استفاده می‌شود (Darvand et al, 2021).

#### داده‌های متغیرهای اقلیمی دما و بارش

داده‌های دما و بارش ماهانه، از ایستگاه‌های سینوپتیک و اقلیم‌شناسی به ترتیب<sup>۳</sup> ۹ و ۱۵ ایستگاه طی دوره آماری ۲۰۰۱ تا ۲۰۲۰ استخراج شد. داده‌های ایستگاهی در مرحله بعد نیز به داده سالانه تبدیل شد. مشخصات ایستگاه‌های مورد استفاده در جدول ۱ آورده شده‌است. به دلیل فقدان پراکنش مناسب ایستگاه‌ها در کل منطقه مورد مطالعه، استفاده از روش‌های پهن‌بندی از قبیل روش‌های زمین‌آمار ممکن است به ایجاد خطا در نقشه‌ها منجر شود؛ از این رو، در این مطالعه داده‌های شبکه‌ای بازتحلیل شده سالانه ERA5-Land با دقت مکانی حدود ۹ کیلومتر، به عنوان داده‌های کمکی در مناطق بدون آمار یا با آمار ناقص در سال‌های آماری مشابه استفاده شد. این داده‌ها در هر شرایط ابری، موجود و در دسترس است (Wang et al, 2022). داده‌های مذکور برای هر دو متغیر اقلیمی دما و بارش دانلود و پردازش شد. پروداکت ERA5-Land، مؤلفه جدید زمینی از نسل پنجم داده‌های بازتحلیل شده<sup>۴</sup> است (Muñoz-Sabater et al, 2019). عمدۀ ترین مزیت این داده‌ها، قدرت تفکیک مکانی افقی است که به حدود ۹ کیلومتر در سطح جهانی ارتقا یافته است. دورۀ زمانی این داده‌ها از ژانویه ۱۹۸۱ تا حال، با دو یا سه ماه تأخیر زمانی نسبت به زمان حال در دسترس است. قدرت تفکیک مکانی و زمانی ERA5-Land و دورۀ زمانی گستره، آن را به مجموعه داده‌ای با ارزش برای اجرای مطالعات هیدرولوژیکی، آماده‌سازی مدل‌های اقلیمی، کاربردهای متفاوت در زمینه مدیریت منابع آب، زمین و محیط‌زیست مبدل کرده است. بهسازی اصلی این داده‌ها به دلیل ریزمقیاس‌نمایی غیرخطی، با ورودی ترمودینامیک اصلاح شده است (Muñoz-Sabater et al, 2021).

جدول ۱: مشخصات ایستگاه‌های سینوپتیک و اقلیم‌شناسی مورد استفاده در استان سمنان

ردیف	نام ایستگاه	نوع ایستگاه	ارتفاع (m)	سال تأسیس	طول جغرافیایی	عرض جغرافیایی
------	-------------	-------------	------------	-----------	---------------	---------------

<sup>1</sup> Composite

<sup>2</sup> The Normalized Difference Vegetation Index (NDVI)

<sup>3</sup> The Fifth Generation of European Reanalysis (ERA5)

(درجه - دقیقه)	(درجه - دقیقه)	سمنان	۱
۳۵.۵۹	۵۳.۴۲	سینوپتیک	
۳۶.۳۸	۵۴.۹۳	سینوپتیک	۲
۳۵.۲۴	۵۲.۳۶	سینوپتیک	۳
۳۶.۰۸۵	۵۵.۸۱	سینوپتیک	۴
۳۶.۱۵	۵۴.۳۲	سینوپتیک	۵
۳۵.۷۷	۵۳.۳۵	سینوپتیک	۶
۳۶.۴۱	۵۵.۶۳	سینوپتیک	۷
۳۷.۱۹	۵۵.۸۰	سینوپتیک	۸
۳۵.۳۴	۵۲.۰۸	سینوپتیک	۹
۳۵.۷۶	۵۶.۶۰	اقلیم‌شناسی	۱۰
۳۵.۲۵	۵۲.۴۲	اقلیم‌شناسی	۱۱
۳۶.۰۲	۵۴.۱۴	اقلیم‌شناسی	۱۲
۳۵.۶	۵۶.۷۸	اقلیم‌شناسی	۱۳
۳۶.۴۷	۵۴.۹۸	اقلیم‌شناسی	۱۴
۳۵.۲۳	۵۴.۵۶	اقلیم‌شناسی	۱۵
۳۶.۴۳	۵۴.۲۲	اقلیم‌شناسی	۱۶
۳۵.۴۸	۵۳.۲۳	اقلیم‌شناسی	۱۷
۳۶.۶۹	۵۵.۲۹	اقلیم‌شناسی	۱۸
۳۶.۵۹	۵۵.۸۷	اقلیم‌شناسی	۱۹
۳۶.۵۰	۵۶.۷۶	اقلیم‌شناسی	۲۰
۳۶.۰۶	۵۳.۷۰	اقلیم‌شناسی	۲۱
۳۶.۶	۵۵.۰۶	اقلیم‌شناسی	۲۲
۳۶.۸	۵۵.۰۶	اقلیم‌شناسی	۲۳
۳۵.۷۱	۵۳.۳۷	اقلیم‌شناسی	۲۴
۳۷.۰۴	۵۵.۷۹	اقلیم‌شناسی	۲۵

### اصلاح اریبی داده‌های شبکه‌ای باز تحلیل شده ERA5-Land به روش نگاشت چندک (QM)

با توجه به اینکه داده‌های شبکه‌ای نسبت به داده‌های مشاهداتی معمولاً خطای سیستماتیک دارند، نتایج خروجی را تحت تأثیر قرار می‌دهند و لازم است که اصلاح شوند. اصلاح اریبی به روش نگاشت چندک، روشی ناپارامتری است و بدون فرضی اولیه برای تمامی توزیع‌های آماری قابل استفاده است (Fang, 2016). این روش از تابع انتقال تجربی

سرچشممه گرفته است و با استفاده ازتابع توزیع تجمعی (ECDF)<sup>۱</sup> و معکوس آن (ECDF<sup>-۱</sup>) به شرح زیر توصیف می‌شود:

$$P_{cor,m} = ECDF_{obs,mod}^{-1}(ECDF_{raw,m}(P_{raw,m}))$$

که ECDF<sup>-۱</sup>تابع توزیع تجمعی و معکوس آن،  $P_{raw}$  دیتای خام مقادیر مشاهداتی،  $m$  ماه مورد نظر،  $P_{cor,m}$  دیتای اصلاح نشده و  $P_{cor,m}$  دیتای اصلاح اُریبی شده در روز و ماه مورد نظر است (Fang et al, 2015). در پژوهش حاضر برای به کارگیری روش اصلاح اُریبی نگاشت چندک، از پکیج qmap در محیط نرم‌افزاری R استفاده شد. در این مرحله، هر سری از داده‌های دما و بارش حاصل از پروداکت شبکه‌ای ERA5-Land طی سال‌های ۲۰۰۱ تا ۲۰۲۰ مطابق با سری زمانی در دسترس شاخص NDVI استخراج و اندازهٔ پیکسل‌ها تا پانصد متر براساس قدرت تفکیک مکانی داده‌های حاصل از شاخص NDVI تغییر داده شد.<sup>۲</sup> در مرحله بعد، داده‌های مورد نظر توسط روش نگاشت چندک تصحیح شد.

### تحلیل روند سری زمانی شاخص NDVI

پس از اجرای پردازش‌های مربوط به اصلاح اُریبی دما و بارش سالانه، ارتباط بین بارش و دمای سالانه با شاخص NDVI در هر ماه از سال (۲۰۰۱-۲۰۲۰) محاسبه شد. در این مطالعه، ابتدا با استفاده از رگرسیون خطی (رابطه ۱) و روش ناپارامتریک شبیه تخمین گر خط سن (رابطه ۲)، برای بررسی تغییرات روند شاخص NDVI برای هر پیکسل و آنالیز تفاوت مقادیر این شاخص در سری زمانی از سال ۲۰۰۱ تا ۲۰۲۰ استفاده شد. رابطه‌های مورد استفاده به شرح زیر است:

$$Y = ax + b \quad \text{رابطه ۱}$$

$$f(t) = Qt + B \quad \text{رابطه ۲}$$

در رابطه ۱،  $Y$  بیانگر شبیه تغییرات یا درجه تغییر در شاخص NDVI ماهانه،  $a$  شبیه خط (slope) و  $b$  معادل عرض از مبدأ معادله است. همچنین در رابطه ۲،  $Q$  شبیه خط روند و  $B$  مقداری ثابت است. در واقع، شبیه میان جفت داده‌های شاخص NDVI در برابر زمان با استفاده از این رابطه تعیین شد؛ به عبارت دیگر، شبیه تغییرات NDVI طی بیست سال در هر پیکسل تعیین شد.

شبیه تغییرات مثبت ( $slope > 0$ ) بدان معناست که شاخص NDVI طی  $n$  سال مطالعاتی نسبت به متغیر اقلیمی دما یا بارش افزایش یافته است؛ در حالی که شبیه تغییرات منفی ( $slope < 0$ ) بیانگر روند منفی و کاهش شاخص NDVI نسبت به متغیر اقلیمی دما یا بارش است.

همچنین برای برقراری ارتباط بین متغیرهای اقلیمی دما و بارش و شاخص NDVI، از رگرسیون خطی استفاده شد که در این حالت شبیه خط رگرسیون، تغییرات NDVI را به عنوان تابعی از بارش و دما نشان می‌دهد. در این مطالعه برای بررسی دقیق ارتباط بین پوشش‌گیاهی و مؤلفه‌های اقلیمی (دما و بارش)، از ضریب تبیین استفاده شد (رابطه ۳):

<sup>۱</sup> Empirical Cumulative Distribution Function (ECDF)

<sup>۲</sup> Resample

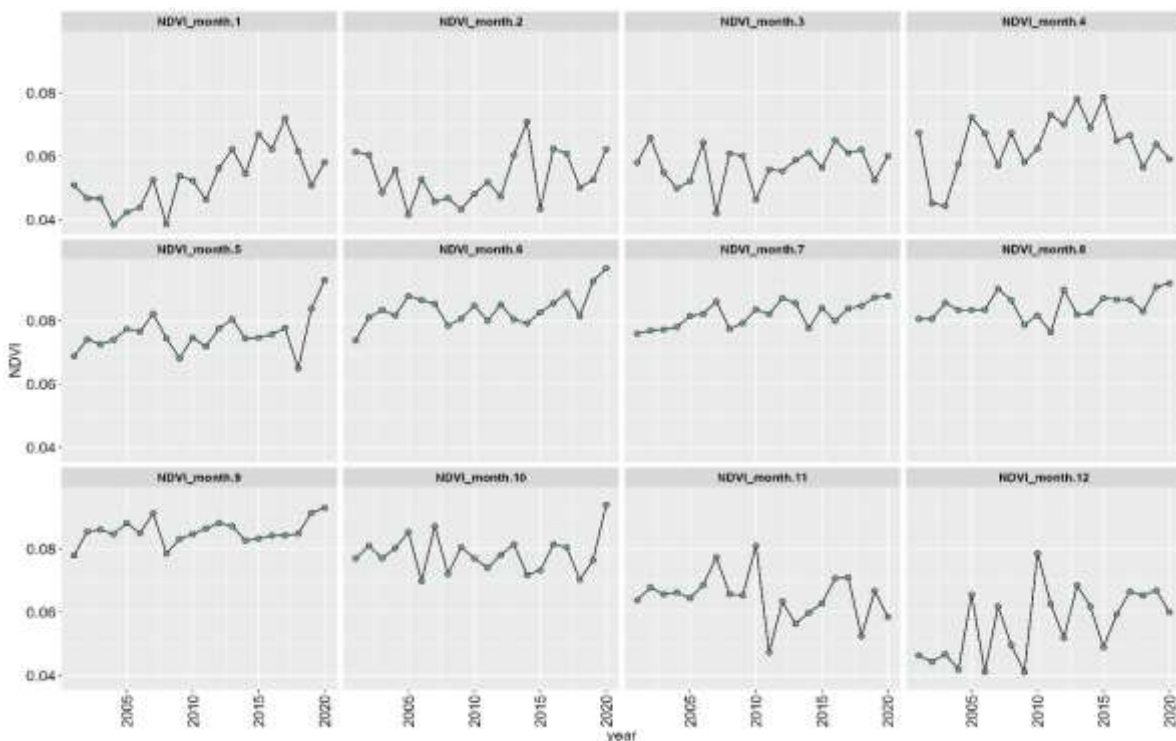
$$R^2 = 1 - \left( \frac{RSS}{TSS} \right) \quad \text{رابطه ۳}$$

که در آن،  $R^2$  ضریب تبیین، RSS باقیمانده جمع مربعات و TSS مجموع جمع مربعات است.

#### ۴- یافته‌ها (نتایج)

##### شیب تغییرات و پراکنش زمانی - مکانی شاخص NDVI

مقادیر بیشینه و کمینه شیب خط رگرسیون محاسبه شده در سری زمانی شاخص NDVI طی سال‌های ۲۰۰۱ تا ۲۰۲۰ به ترتیب بیش از صفر تا کمتر از  $-0.002$  در ماه مختلف سال (براساس ماه‌های میلادی) متغیر بود (شکل ۲). شیب خط رگرسیون نشان داد که  $25\%$  از مساحت استان سمنان در هر ماه طی سال‌های ۲۰۰۱ تا ۲۰۲۰، شیب تغییرات نزدیک به صفر داشت (جدول ۲)، این بدان معنا است که در دوره زمانی مذکور، شاخص NDVI در سال‌های ذکر شده تغییرات صفر داشت و تقریباً بدون تغییر بوده است. شکل ۲، متوسط تغییرات NDVI در سال‌های مورد مطالعه را نشان می‌دهد. نتایج نشان داد که در فصل زمستان میزان NDVI کمتر از فصل‌های بهار و تابستان بود. از سوی دیگر، بیشتر مقادیر NDVI در استان کمتر از  $0.1$  بود. این نتایج نشان می‌دهد که مساحت زیادی از استان قادر پوشش گیاهی متراکم است. براساس نتایج، تغییرات NDVI در ماه‌های ۹ تا ۱ میلادی نسبت به دیگر ماه‌ها کمتر است.



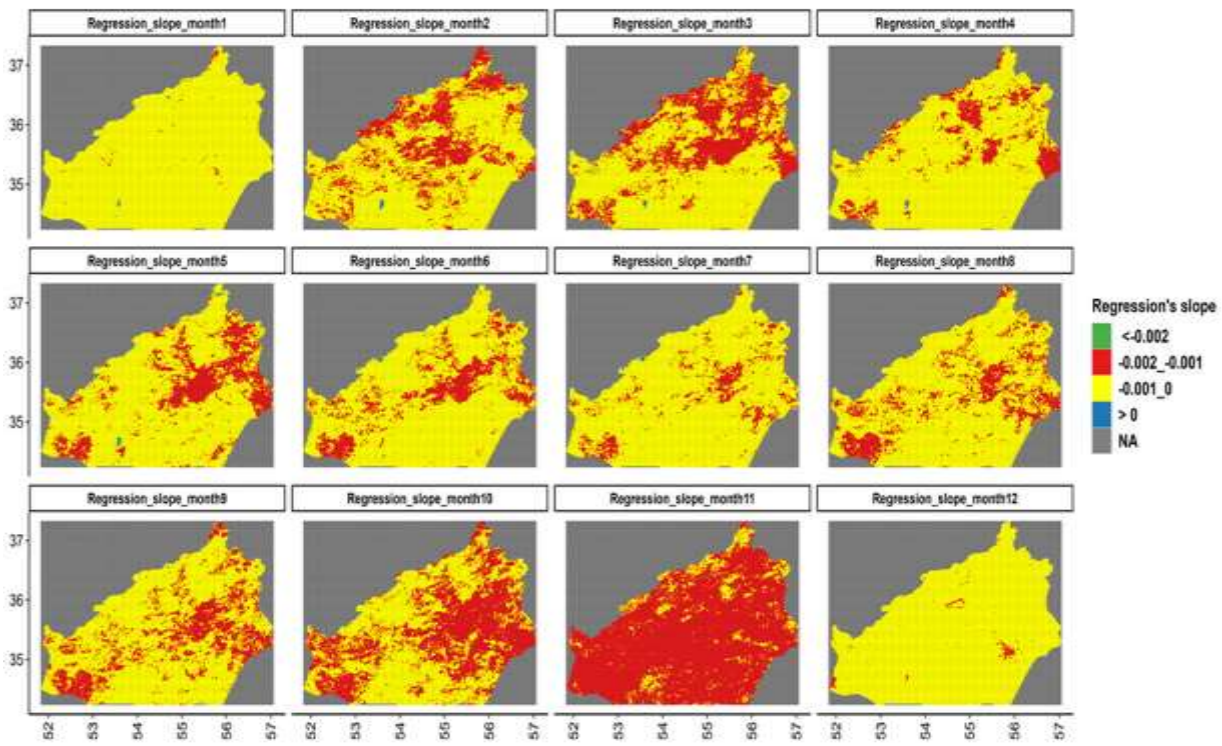
شکل ۲: نمودارهای ماهانه سری زمانی شاخص NDVI طی سال‌های ۲۰۰۱-۲۰۲۰

شیب خط رگرسیونی سری زمانی NDVI ماهانه طی سال‌های ۲۰۰۱-۲۰۲۰، در چهار کلاس  $-0.002$  تا  $-0.001$ ،  $0.001$  تا صفر و بیش از صفر طبقه‌بندی شد. براساس نتایج، تغییرات مثبت شاخص NDVI — که بزرگ‌تر از صفر است (کلاس چهار) — طی بیست سال گذشته در بخش‌های بسیار محدودی از شمال، مرکز و جنوب استان سمنان

طی ماههای اول (ثانویه معادل دی‌ماه) تا هفتم (جولای معادل تیر‌ماه) با رنگ آبی نمایش داده شده است. علاوه بر آن، تغییرات حاصل از شب رگرسیونی شاخص NDVI بین مقادیر  $-0.001$  تا  $-0.002$  در کلاس یک در مناطق شمالی و شمال‌شرقی، مرکزی و بخش‌هایی از جنوب استان (که با رنگ قرمز نمایش داده شده است) طی ماههای اول و دوازدهم میلادی (به ترتیب معادل ماههای بهمن و دی) به حداقل مقدار خود رسیده است؛ در حالی که در کلاس مشابه در ماه یازدهم میلادی (آذرماه)، بیشترین مقادیر پوشش‌گیاهی بین  $-0.001$  تا  $-0.002$  مشاهده می‌شود. در تمامی ماههای سال به جز ماه یازدهم، مقادیر شب رگرسیون در کلاس سوم و بین  $-0.001$  تا صفر (رنگ زرد) قرار دارد که نشان می‌دهد پوشش‌گیاهی به صورت عملی بدون تغییر بوده یا تغییرات کاهشی بسیار اندکی در سطح استان داشته است (شکل ۳).

جدول ۲: مقادیر شب رگرسیون NDVI در سری زمانی در ماههای مختلف طی سال‌های ۲۰۲۰-۲۰۰۱

شیب خط رگرسیونی شاخص NDVI در هر ماه	بیشینه مقادیر	چارک اول (Q1)	چارک دوم یا میانه (Q2)	چارک سوم (Q3)	کمینه مقادیر
۱					$-0.0025$
۲					$-7/99 \times 10^{-6}$
۳					$-7 \times 10^{-5}$
۴					$-0.0019$
۵					$5/2 \times 10^{-5}$
۶					$8/93 \times 10^{-5}$
۷					$-0.0017$
۸					$5/53 \times 10^{-5}$
۹					$4/27 \times 10^{-6}$
۱۰					$-0.0015$
۱۱					$-0.00052$
۱۲					$-0.0012$



شکل ۳: شب خط رگرسیونی سری زمانی NDVI ماهانه از سال ۲۰۰۱-۲۰۲۰

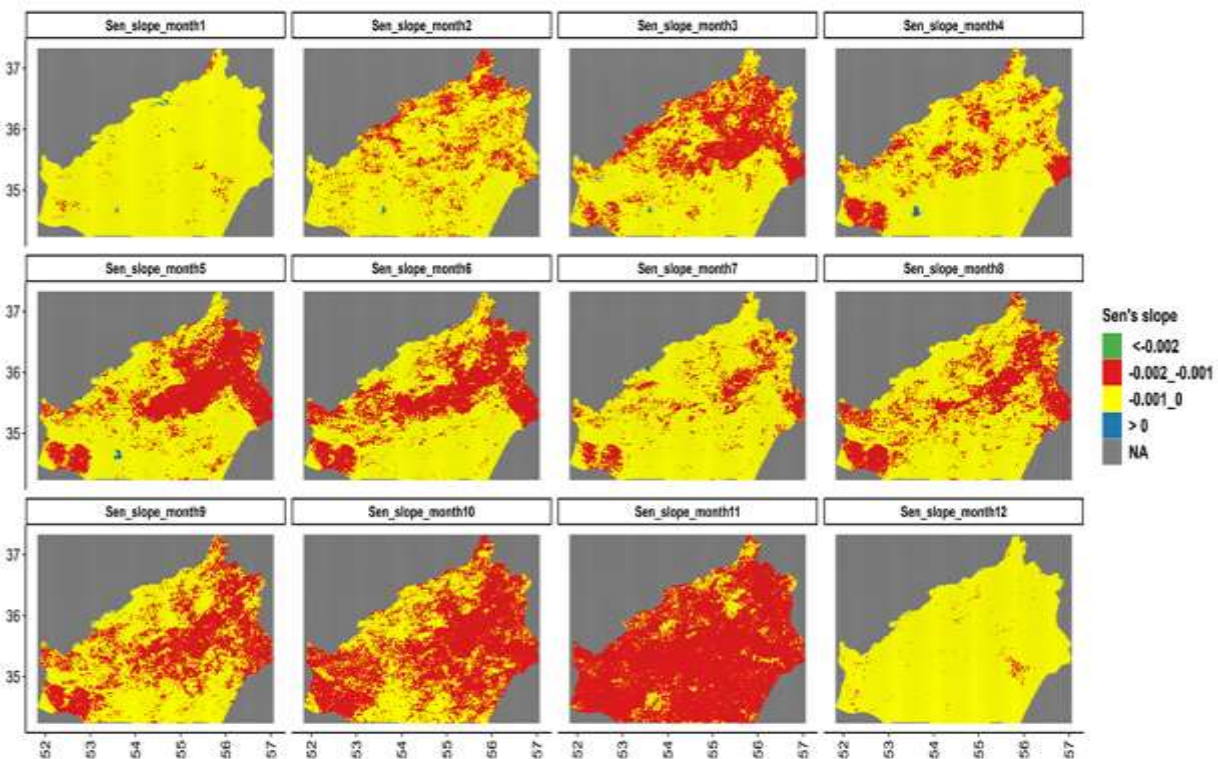
میزان تغییرات پوشش گیاهی شاخص NDVI در منطقه مورد مطالعه در هر ماه طی سال‌های ۲۰۰۱-۲۰۲۰، توسط شب تخمین‌گر سن محاسبه شد که نتایج حاصل از آن در جدول ۳ نمایش داده شده است. بر این اساس، در حدود ۷۵٪ از مساحت استان سمنان، تغییر محسوسی در کاهش یا افزایش مقدار پوشش گیاهی براساس شاخص NDVI نداشت که تاییجی مشابه با تغییرات این شاخص با استفاده از شب خط رگرسیونی نشان می‌دهد. مقادیر منفی در میانه داده‌ها — که پنجاه درصد از مساحت استان را در بر می‌گیرد — بدان معنا است که پوشش گیاهی در ماه‌های نهم تا دوازدهم میلادی (به ترتیب معادل ماه‌های شهریور و دی) به مقدار اندکی کاهش یافته است (جدول ۳).

جدول ۳: مقادیر شب خط تخمین‌گر سن شاخص NDVI در هر ماه طی سال‌های ۲۰۰۱-۲۰۲۰

شیب خط تخمین‌گر سن کمینه مقادیر چارک اول (Q1) چارک دوم یا میانه (Q2)	چارک سوم (Q3) بیشینه مقادیر	شاخص NDVI در هر ماه
۰/۰۱۷	۰/۰۰۱۴	۰/۰۰۰۹۵
۰/۰۱۵	۰/۰۰۰۶۲	۰/۰۰۰۳۲
۰/۰۰۹۸	۰/۰۰۰۴۹	۰/۰۰۰۱۷
۰/۰۱۸	۰/۰۰۱۰	۰/۰۰۰۵۵
۰/۰۰۸۶	۰/۰۰۰۵۴	۰/۰۰۰۱۷
۰/۰۱۵	۰/۰۰۰۵۶	۰/۰۰۰۱۸
۰/۰۱۱	۰/۰۰۰۵۹	۰/۰۰۰۳۳
۰/۰۰۷۶	۰/۰۰۰۴۲	۰/۰۰۰۱۶

۰/۰۰۸۷	۰/۰۰۲۹	$-6/68 \times 10^{-5}$	-۰/۰۰۱۵	-۰/۰۰۹۴	۹
۰/۰۰۷۴	۰/۰۰۱۳	$-9/50 \times 10^{-5}$	-۰/۰۰۳۳	-۰/۰۰۹۵	۱۰
۰/۰۰۵۵	-۰/۰۰۰۲۱	-۰/۰۰۰۴۱	-۰/۰۰۰۶۱	-۰/۰۰۵۳	۱۱
۰/۰۰۸۵	۰/۰۱۲۲۷	-۰/۰۰۰۹۳	-۰/۰۰۰۶۷	-۰/۰۰۳۲	۱۲

با توجه به شکل ۴، بیشترین مقدار تغییرات شاخص NDVI در منطقه مطالعاتی، در ماههای اول تا هفتم در بخش‌های اندکی از شمال و جنوب مساحت استان در کلاس چهار (مقادیر بیش از صفر) مشاهده شد که تغییرات مثبت را نسان می‌دهد و به عبارتی، افزایش پوشش‌گیاهی در این بخش‌ها است که به رنگ آبی نمایش داده شده است. این در حالی است که بیشتر تغییرات شاخص NDVI، براساس شب تخمین‌گر سن در کلاس‌های دوم (رنگ قرمز) و سوم (رنگ زرد) قرار دارد که دامنه مقادیر بین -۰/۰۰۲ تا صفر را در بر می‌گیرد. مشابه با نتایج حاصل از شب خط رگرسیونی (شکل ۳)، شب خط تخمین‌گر سن نیز در تمامی ماههای سال به جزء ماههای دهم و یازدهم میلادی (معادل ماههای آبان و آذر)، در کلاس سوم و بین مقادیر ۰/۰۰۱ تا صفر (رنگ زرد) قرار دارد. مقادیر منفی بدان معنا است که پوشش‌گیاهی در استان سمنان در ماههای مذکور روندی کاهشی داشته است. همچنین، در ماههای اول و دوازدهم در بیشتر بخش‌های استان نیز شب تغییرات پوشش‌گیاهی، بین مقادیر -۰/۰۰۱ تا صفر است که با رنگ زرد نمایش داده شده است.



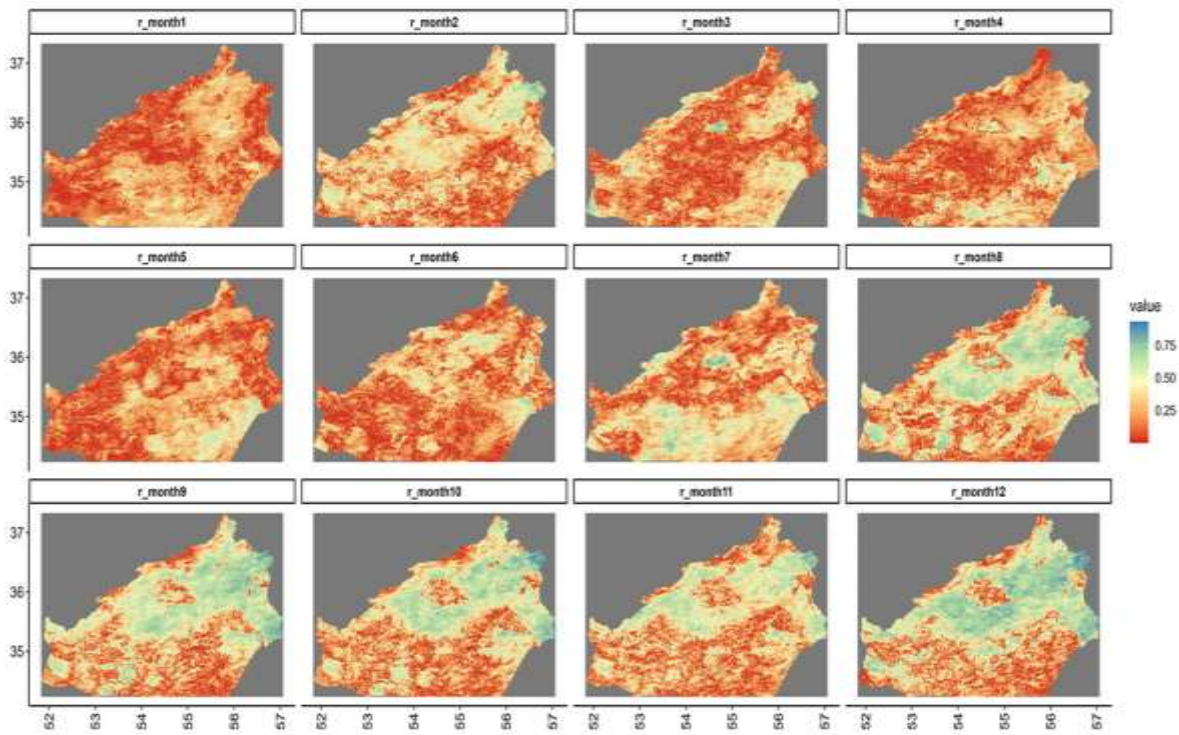
شکل ۴: تغییرات شب خط تخمین‌گر سن در سری زمانی NDVI در هر ماه طی سال‌های ۲۰۰۱-۲۰۲۰

#### بررسی ارتباط بین شاخص NDVI و بارش باز تحلیل شده

جدول ۴، نتایج حاصل از مقادیر ضرایب تبیین بین شاخص NDVI و مؤلفه اقلیمی بارش را برای هر ماه در سال‌های ۲۰۰۱ تا ۲۰۲۰ نشان می‌دهد. مقادیر بالای ضریب تبیین، بیانگر ارتباط قوی بین NDVI و بارش سالانه است و مقادیر کم ضریب تبیین، ارتباط ضعیف بین بارش و شاخص NDVI را در پیکسل مورد بررسی نشان می‌دهد. آنالیزهای آماری نشان داد که مقدار میانه ضرایب تبیین بین NDVI و بارش در ماه‌های مختلف، بین ۱۸ تا ۴۴ درصد متغیر است و بیشترین مقادیر میانه ضریب تبیین به ترتیب در ماه‌های نهم و دوازدهم میلادی (به ترتیب معادل ماه‌های شهریور و دی) مشاهده می‌شود که بر اساس این نتایج، ارتباط بین شاخص NDVI و بارش در بیش از پنجاه درصد استان، بین صفر تا ۴۲٪ و ۴۴٪ متغیر بوده است. علاوه بر آن، در ۷۵٪ از مساحت استان، میزان ضریب تبیین در ماه نهم و دوازدهم به بیشینه مقدار خود رسیده و به ترتیب برابر با ۵۶٪ و ۶۲٪ بوده است. بیشینه مقادیر ضریب تبیین مثبت بین بارش و شاخص NDVI، در ماه‌های سوم، نهم، دهم، یازدهم و دوازدهم میلادی (معادل ماه‌های فروردین، شهریور، مهر و آبان، آذر و دی) بوده (به ترتیب ۸۸٪، ۹۴٪، ۸۸٪ و ۹۴٪) و بیانگر آن است که در ماه‌های مذکور با افزایش مقدار بارش در استان، میزان پوشش گیاهی نیز افزایش می‌یابد (جدول ۴). مقدار میانه ضریب تبیین در ماه‌های اول تا ششم میلادی (معادل ماه‌های بهمن تا تیر) نیز به عنوان کمترین مقدار برآورد شد. نتایج مطالعه حاضر نشان می‌دهد که پوشش گیاهی در فصول زمستان و بهار با بارش سالانه ارتباط معنی‌دار ندارد.

جدول ۴: مقادیر ضریب تبیین بین بارش و شاخص NDVI در هر ماه طی سال‌های ۲۰۰۱-۲۰۲۰

ضریب تبیین بین بارش و NDVI در هر ماه	بیشینه مقادیر	چارک اول (Q1)	چارک دوم یا میانه (Q2)	چارک سوم (Q3)	کمینه مقادیر
۱	$-1/9 \times 10^{-5}$	۰/۰۸۸	۰/۱۸	۰/۲۸	۰/۷۱
۲	$2/3 \times 10^{-6}$	۰/۱۶	۰/۲۹	۰/۴۱	۰/۸۴
۳	$6/3 \times 10^{-6}$	۰/۰۹۶	۰/۲۰	۰/۳۳	۰/۸۸
۴	$4/9 \times 10^{-6}$	۰/۰۹۶	۰/۱۹	۰/۳۱	۰/۸۶
۵	$2/1 \times 10^{-5}$	۰/۰۹	۰/۱۸	۰/۳۰	۰/۷۳
۶	$7/2 \times 10^{-6}$	۰/۰۹	۰/۱۹	۰/۳۱	۰/۷۸
۷	$4/7 \times 10^{-7}$	۰/۱۶	۰/۲۸	۰/۴۰	۰/۸۶
۸	$1/1 \times 10^{-6}$	۰/۱۹	۰/۳۶	۰/۵۳	۰/۸۷
۹	$5/7 \times 10^{-5}$	۰/۲۲	۰/۴۲	۰/۵۶	۰/۸۹
۱۰	$1/4 \times 10^{-6}$	۰/۱۹	۰/۳۶	۰/۵۴	۰/۹۴
۱۱	$5/0.8 \times 10^{-6}$	۰/۱۷	۰/۳۲	۰/۴۷	۰/۸۸
۱۲	$2/6 \times 10^{-5}$	۰/۲۱	۰/۴۳	۰/۶۲	۰/۹۴



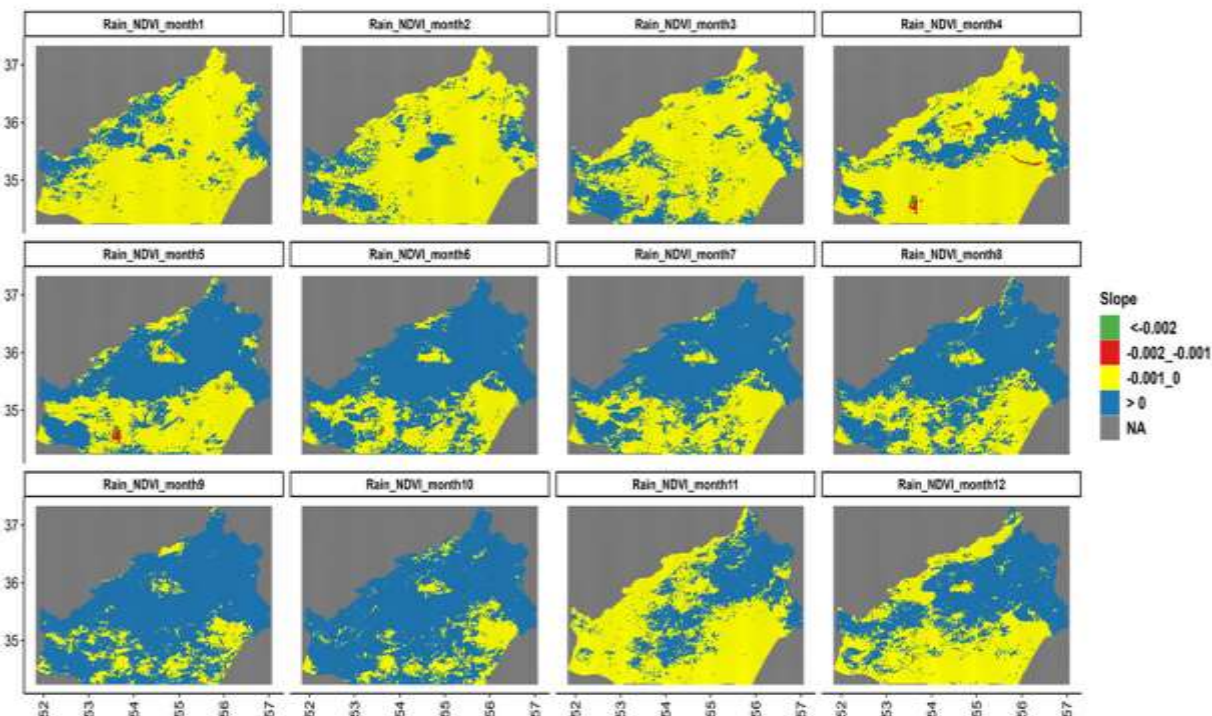
شکل ۵: نقشهٔ مقادیر ضریب تبیین بین شاخص پوشش‌گیاهی NDVI (به عنوان متغیر وابسته) و بارش سالانه باز تحلیل شده ERA5-Land در استان سمنان

شکل ۵، مقادیر حاصل از ضرایب تبیین بین NDVI و مؤلفهٔ اقلیمی بارش را نشان می‌دهد که در دامنهٔ بین کمتر از ۰/۰۲۵ تا بیش از ۰/۷۵ براورد شده‌است. بیشترین مقدار ضریب تبیین بین NDVI و بارش، در ماه‌های نهم تا دوازدهم میلادی (معادل ماه‌های شهریور تا دی) بوده‌است که در بخش‌های شمال‌شرق، شرق، مرکز و جنوب‌غرب استان دیده می‌شود؛ مقادیر حاصل از جدول ۴ نیز این امر را تأیید می‌کند. با توجه به شکل ۵، میزان ضریب تبیین به ترتیب در ماه‌های دوازدهم، دهم و نهم میلادی (دی، مهر تا آبان) به بیشترین مقدار خود (بیش از ۰/۷۵٪) در بخش‌های شمال‌غرب استان رسیده‌است که ارتباط نسبتاً خوب میان افزایش پوشش‌گیاهی در این نقاط را با افزایش بارش سالانه نشان می‌دهد. علاوه بر آن، ماه‌های اول تا هفتم نیز نشان می‌دهد که بین شاخص NDVI و بارش در برخی نقاط از استان، ضریب تبیین کمتر از ۰/۰۲۵ در نقاط مرکزی، جنوبی و غربی وجود دارد که از این میان، ماه اول دارای حداقل میزان ضریب تبیین است (شکل ۵). میزان ضریب تبیین در مناطق جنگلی پهنه‌برگ استان نیز در کمترین حد بوده که فقدان تغییر پوشش‌گیاهی را در این اراضی با تغییرات سالانه بارش در استان سمنان نشان می‌دهد.

شکل ۶، نقشه‌های ماهانه حاصل از شبیه‌سازی میان شاخص NDVI و بارش سالانه باز تحلیل شده ERA5-Land را طی سال‌های ۲۰۰۱ تا ۲۰۲۰ نشان می‌دهد. مقادیر منفی شبیه‌سازی میانگر ارتباط معکوس بین بارش و پوشش‌گیاهی و مقادیر مثبت، بیانگر رابطهٔ مستقیم بین پوشش در ماه مورد نظر و مقدار بارش سالانه است. دامنه تغییرات شبیه‌سازی NDVI مابهانه نسبت به بارش سالانه از ۰/۰۰۲ تا بیش از صفر است که در تمامی ماه‌ها به جز ماه‌های هفتم، نهم و دهم میلادی (معادل ماه‌های تیر، شهریور و مهر تا آبان)، در بخش‌های کمی از مرکز

و جنوب استان سمنان دامنه مقادیر  $-0.001$  تا  $-0.002$  (کلاس اول) و  $-0.002$  تا  $-0.001$  (کلاس دوم) مشاهده می‌شود؛ این بدان معنا است که در ماههای ذکر شده، روند تغییرات پوشش گیاهی نسبت به بارش به طور نامحسوسی کاهشی بوده است. همچنین در ماههای نهم و دهم میلادی (معادل ماههای شهریور، مهر تا آبان) در بیشتر مناطق استان، تغییرات پوشش گیاهی نسبت به بارش مثبت بوده و بیش از صفر برآورد شده است که نشان می‌دهد در این ماهها، میان پوشش گیاهی و بارش ارتباطی مستقیم وجود داشته و با افزایش بارش میزان پوشش گیاهی نیز افزایش یافته است.

طول سالهای آماری در هر ماه در بیشتر مناطق استان از جمله مرکز و شرق آن، میزان تغییرات شاخص NDVI نسبت به بارش سالانه در دامنه مقادیر بیش از  $-0.002$  تا صفر قرار گرفته است که از فقدان تغییرات قبل توجه پوشش گیاهی نسبت به بارش سالانه در منطقه مورد مطالعه حکایت دارد. این در حالی است که در ماههای اول تا چهارم میلادی (معادل ماههای بهمن تا اردیبهشت) در مساحت زیادی از استان، بیشترین دامنه تغییرات پوشش گیاهی نسبت به بارش بین  $-0.001$  تا صفر است که نشان می‌دهد در ماههای مذکور، پوشش گیاهی طی سالهای ۲۰۰۱ تا ۲۰۲۰ بدون تغییر بوده یا به مقداری جزئی کاهش یافته است (شکل ۶).



شکل ۶: خروجی حاصل از شبیه‌سازی طبقه‌بندی شده میان سری زمانی بارش سالانه باز تحلیل شده ERA5-Land و شاخص پوشش گیاهی NDVI طی سالهای ۲۰۰۱-۲۰۲۰

### بررسی ارتباط بین NDVI و دمای باز تحلیل شده

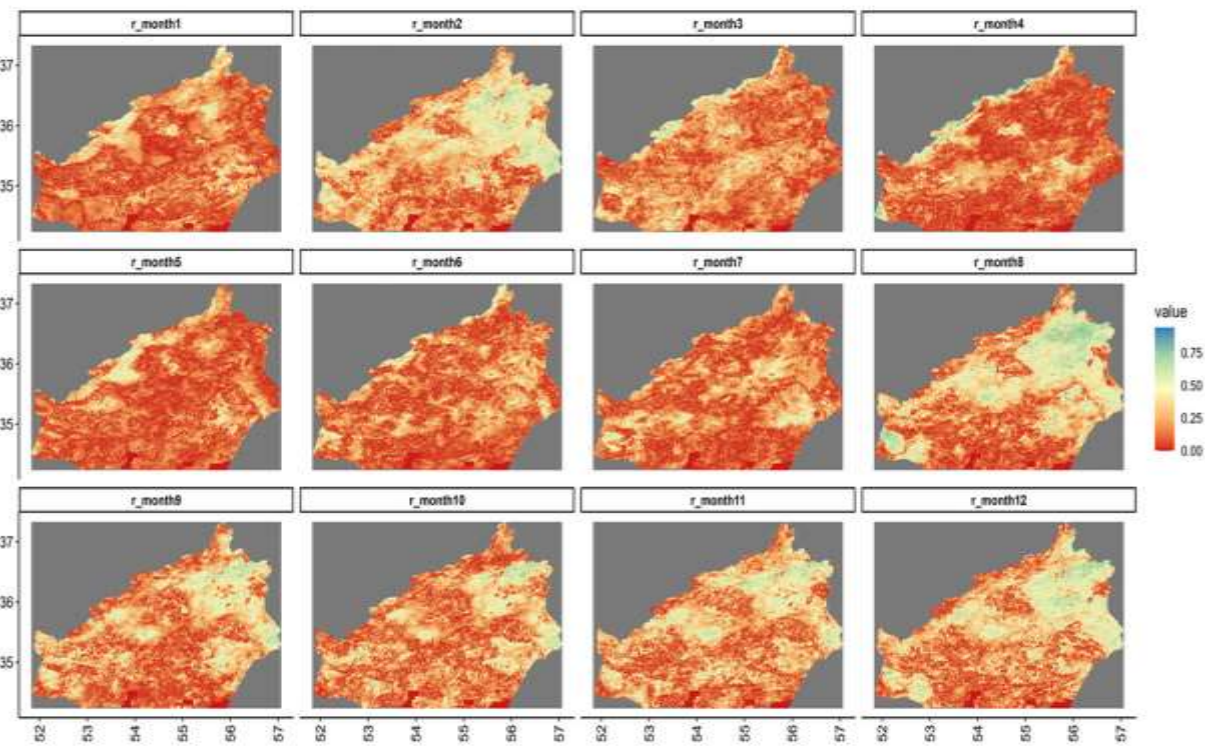
علاوه بر بررسی میزان ارتباط بین شاخص NDVI و بارش سالانه و ارزیابی تغییرات پوشش گیاهی در هر ماه، میزان ضریب تبیین بین دمای سالانه و شاخص NDVI طی سالهای ۲۰۰۱-۲۰۲۰ در هر ماه بررسی شد. براساس جدول ۶ نتایج حاکی از آن است که در  $25\%$  از مساحت استان در ماههای اول، ششم و هفتم، میزان ضریب تبیین بین دمای سالانه و NDVI کمتر از  $6\%$  است؛ در حالی که در ماههای دیگر در  $25\%$  درصد مساحت استان، ضریب تبیین بین پوشش گیاهی

و دما بیش از ۶ و کمتر از ۱۵ درصد بوده است. این در حالی است که در نیمی از مساحت استان، میزان ضریب تبیین بین دما و پوشش بین ۱۴ تا ۲۸ درصد متغیر بوده است. همچنین نتایج نشان داد که در ۲۵٪ از مساحت استان سمنان، ارتباط بین دمای سالانه و شاخص NDVI در ماههای هشتم و دوازدهم به بیش از ۴۰٪ می‌رسد (جدول ۵).

جدول ۵: مقادیر ضریب تبیین بین دما و شاخص NDVI در هر ماه طی سالهای آماری ۲۰۰۱-۲۰۲۰

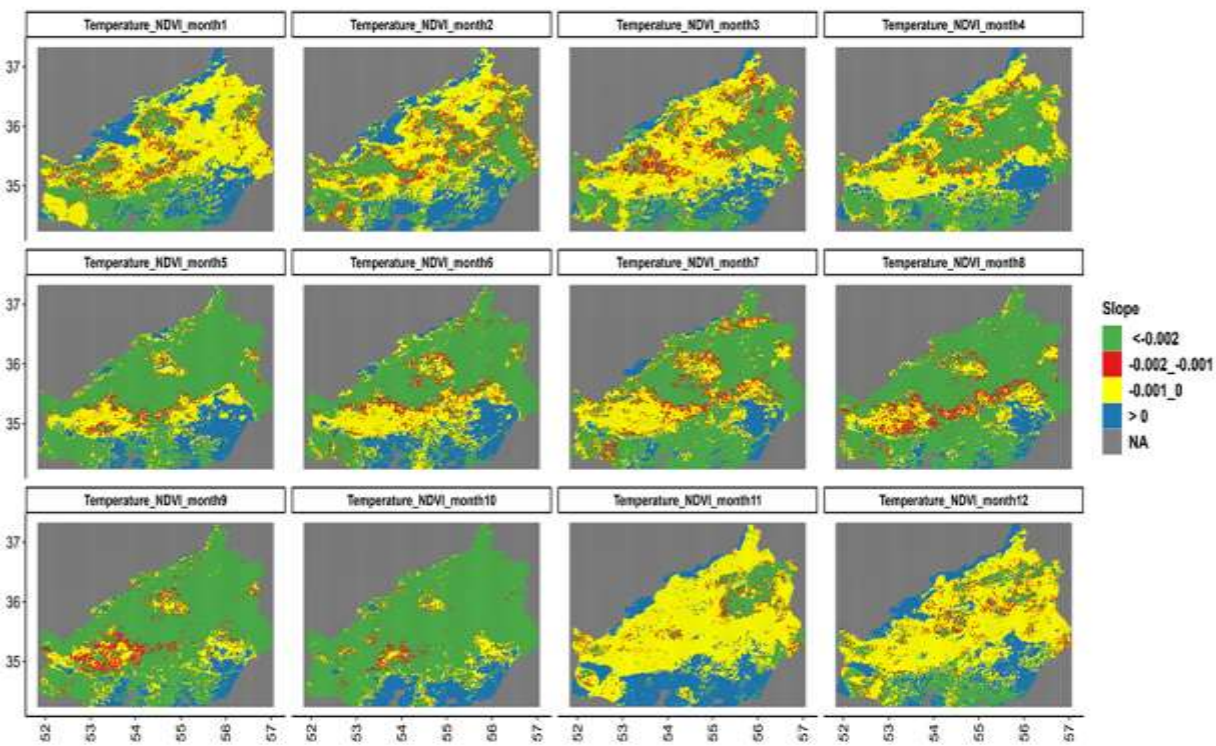
ضریب تبیین بین دما و NDVI در هر ماه	چارک اول (Q1)	چارک دوم یا میانه (Q2)	چارک سوم (Q3)	بیشینه مقادیر
۱	۰/۷۰	۰/۲۳	۰/۱۳	۰/۰۶۶
۲	۰/۸۰	۰/۴۱	۰/۲۸	۰/۱۶
۳	۰/۷۶	۰/۲۷	۰/۱۸	۰/۰۹۷
۴	۰/۹۷	۰/۲۱	۰/۱۱	۰/۰۶۱
۵	۰/۷۵	۰/۲۰	۰/۱۲	۰/۰۶۴
۶	۰/۷۸	۰/۲۳	۰/۱۳	۰/۰۶۳
۷	۰/۷۱	۰/۲۴	۰/۱۴	۰/۰۶۶
۸	۰/۸۳	۰/۴۴	۰/۲۸	۰/۱۲
۹	۰/۷۹	۰/۳۶	۰/۲۲	۰/۱۰
۱۰	۰/۷۵	۰/۳۳	۰/۲۱	۰/۱۰
۱۱	۰/۷۷	۰/۳۷	۰/۲۵	۰/۱۳
۱۲	۰/۸۱	۰/۴۲	۰/۲۸	۰/۱۳

شکل ۷، نقشه‌های ماهانه میزان ضرایب تبیین بین دمای سالانه و NDVI را در سالهای ۲۰۰۱-۲۰۲۰ نشان می‌دهد. دامنه مقادیر ضریب تبیین بین صفر تا بیش از ۰/۷۵٪ متغیر است. در تمامی ماههای سال بهجز ماههای ششم و هفتم، میزان ضریب تبیین بیش از ۷۵٪ در مناطق شمالی، شرقی و غربی استان دیده می‌شود که نشان می‌دهد در این مناطق بین پوشش‌گیاهی و دما ارتباط قوی وجود دارد. در غالب مناطق استان نیز میزان ضریب تبیین کمتر از ۲۵٪ درصد است که ارتباط ضعیف بین دما و شاخص NDVI را نشان می‌دهد. علاوه بر آن، در ماههای دوم، هشتم تا دوازدهم در بخش‌هایی از شمال شرق استان، مقدار ضریب تبیین بین بارش و پوشش‌گیاهی بیش از پنجاه درصد برآورد شده است.



شکل ۷: نقشه مقادیر ضریب تبیین میزان شاخص پوشش گیاهی NDVI (به عنوان معنیر وابسته) و دمای باز تحلیل شده ERA5-Land در استان سمنان

با توجه به شکل ۸ نتایج حاکی از آن است که در ۵۰٪ از مساحت استان، تغییرات شاخص NDVI نسبت به دما در هر ماه نزدیک به صفر یا منفی بوده است که نشان می‌دهد پوشش گیاهی در پاسخ به دما تغییر محسوسی نداشته یا به مقدار اندکی کاهش یافته است. همچنین نتایج حاصل از شبیه سازی خط رگرسیونی بین دما و شاخص NDVI نشان می‌دهد که در بیشتر مساحت استان طی ماههای پنجم تا دهم، تغییرات پوشش گیاهی  $-0.002$  برآورد شده و حاکی از آن است که بین دما و پوشش گیاهی ارتباط منفی وجود دارد و با کاهش دما، پوشش گیاهی اندکی افزایش می‌یابد (شکل ۸). در تمامی ماههای سال در بخش‌هایی از مرکز استان که با رنگ قرمز مشخص شده است، مقادیر شبیه سازی در کلاس دوم و بین  $-0.001$  تا  $-0.002$  قرار گرفته و بیانگر آن است که پوشش گیاهی ماهانه در این مناطق طی سالهای ۲۰۰۱ تا ۲۰۲۰ با کاهش دمای سالانه، روندی افزایشی داشته است. همچنین، مقادیر مثبت در کلاس چهارم ( $>0$ ) بیانگر آن است که در بخش‌های شمالی، جنوبی و جنوب شرقی استان، میزان پوشش گیاهی با کاهش دمای سالانه زیاد شده است.



شکل ۸: خروجی حاصل از شبیه‌سازی طبقه‌بندی شده میان سری زمانی دمای سالانه و شاخص پوشش‌گیاهی NDVI طی سال‌های ۲۰۰۱-۲۰۲۰

۲۰۰۱

## ۵- بحث و نتیجه‌گیری

کسب اطلاعات دقیق از ویژگی‌های کمی و کیفی تغییرات سطح زمین در مطالعات مرتبط با آمایش سرزمین، برنامه‌ریزی‌های محیطی، مدیریت خاک‌ها و توسعه پایدار اهمیت زیادی دارد. در سال‌های اخیر، تهیه و استفاده از نقشه‌های پوشش‌گیاهی از موارد مهمی است که از آن برای تولید اطلاعات برای سیاست‌گذاری‌ها و اجرای برنامه‌ریزی‌های مختلف استفاده می‌شود؛ به همین دلیل، ارزیابی تغییرات سری زمانی پوشش‌گیاهی با استفاده از تصاویر ماهواره‌ای در هر پیکسل و ارتباط آن با مؤلفه‌های اقلیمی — که از عوامل تأثیرگذار بر میزان پوشش‌گیاهی است — از سوی بسیاری از پژوهشگران قابل توجه قرار گرفته است. همچنین تنها استفاده از داده‌های ایستگاه‌های زمینی در بررسی مؤلفه‌های اقلیمی، محدودیت‌هایی دارد. از مهم‌ترین این محدودیت‌ها می‌توان به گستاخی اطلاعات اقلیمی اشاره کرد. بهدلیل فقدان یا کمبود داده‌های اقلیمی در دوره آماری مورد مطالعه، استفاده از داده‌های شبکه‌ای باز تحلیل شده اهمیت زیادی دارد. از سوی دیگر، اصلاح اربیبی داده‌های دما و بارش جزء مراحل الزامی و ضروری در افزایش دقت پیش‌بینی‌ها محسوب می‌شود (Kolachian et al, 2021). این پژوهش با اهدافی چون پایش تغییرات شاخص NDVI طی دوره آماری بیست ساله (۲۰۰۱-۲۰۲۰) در هر ماه، با استفاده از روش‌های رگرسیون خطی، شبیه‌سازی خط سن و تعیین روابط میان شاخص NDVI و مؤلفه‌های اقلیمی بارش و دمای اصلاح اربیبی شده انجام شد. با توجه به ارتباط معنادار میان پوشش‌گیاهی و مؤلفه‌های اقلیمی دما و بارش، در این مطالعه میزان ضریب تبیین و شبیه‌سازی در ابتدا میان شاخص NDVI و بارش، سپس بین شاخص NDVI و دما برقرار شد. نتایج شبیه‌سازی خط رگرسیونی و شبیه‌سازی گرین تقریباً مشابه بود و نشان داد که به طور کلی، این شاخص در استان سمنان طی سال‌های ۲۰۰۱ تا ۲۰۲۰ تغییرات

محسوسی نداشت، ولی در برخی نقاط کاهشی بود. می‌توان گفت نتایج حاصل از پژوهش حاضر در راستای نتایج حاصل از مطالعه Shafei and Hosseini (2011) است که نشان دادند سطح پوشش گیاهی حاصل از داده‌های ماهواره لندست Shafei and Hosseini (۱۹۹۰-۲۰۰۶) در استان سیستان و بلوچستان در سال ۲۰۰۶ نسبت به ۱۹۹۰ کاهش یافته است (Shafei and Hosseini, 2011). با بررسی تغییرات پوشش گیاهی و شاخص NDVI در حوضه آبخیز ایلام مشخص شد که طی سال‌های ۱۳۶۷ تا ۱۳۹۷ میزان پوشش گیاهی به خصوص در کلاس متراکم کاهش یافته است (Avazpour et al, 2021). همچنین در مطالعه حاضر، بررسی اثر مؤلفه‌های اقلیمی دما و بارش نشان داد که پوشش گیاهی در برخی از ماه‌های سال، ارتباط مستقیم (مقادیر مثبت) و در برخی از ماه‌ها رابطه معکوسی (مقادیر منفی) با دما و بارش داشته است. خروجی شبیه خط رگرسیونی بین بارش و شاخص NDVI در ماه‌های نهم و دهم نشان داد که در بیشتر مناطق استان سمنان، تغییرات پوشش گیاهی نسبت به بارش مثبت بود و ارتباط مستقیم میان پوشش گیاهی و بارش را نشان می‌داد؛ به طوری که با افزایش بارش، پوشش گیاهی نیز در ماه‌های مذکور افزایش می‌یافتد. نتایج حاصل از ضریب تبیین میان مؤلفه بارش و شاخص NDVI حاکی از آن بود که در ۷۵٪ از مساحت استان، میزان ارتباط در ماه‌های نهم و دوازدهم میلادی به حداقل خود رسید و به ترتیب ۵۵٪ و ۶۲٪ محاسبه شد. این نتایج در ماه‌های مذکور نشان داد که با افزایش بارش، پوشش گیاهی در فصول زمستان و بهار ارتباط معناداری با بارش سالانه ندارد. ارزیابی تغییرات پوشش گیاهی در استان کرمانشاه نشان داد که اثر بارندگی بر پوشش گیاهی با توجه به فرم رویشی و زمان بارش متفاوت است و از این جهت در مناطق شهری، ارتباط معنی‌داری بین پوشش گیاهی و مقادیر بارش طی سال‌های ۱۹۸۳ تا ۲۰۰۶ مشاهده نمی‌شود؛ در حالی که پوشش گیاهی در مناطق مرتعی در فصل بهار و اراضی زراعی در ماه اسفند و فصل بهار، بیشترین میزان همبستگی را با بارش نشان می‌دهد (Darvand et al, 2015) و همکاران (Hadian et al, 2015) با بررسی شاخص NDVI در استان اصفهان نشان دادند که پوشش گیاهی در شهرستان آران و بیدگل در کلاس ۰/۳-۰/۲ و <۰/۳ در حال افزایش و در کلاس‌های ۰/۱-۰/۰-۰/۱ در حال کاهش است و علت آن، افزایش وسعت اراضی کشاورزی است (Darvand et al, 2021). همچنین براساس شبیه خط رگرسیونی محاسبه شده بین بارش و شاخص NDVI، ۲۵٪ از مساحت استان سمنان در هر ماه طی سال‌های ۲۰۰۱ تا ۲۰۲۰ شبیه تغییراتی نزدیک به صفر داشت؛ این بدان معنا است که این شاخص در دوره زمانی مذکور بدون تغییرات محسوس بوده؛ این در حالی است که نتایج شبیه خط رگرسیونی بین دمای سالانه و پوشش گیاهی از آن حکایت داشت که در ۵۰٪ از مساحت استان سمنان تغییرات شاخص NDVI نسبت به دما در هر ماه نزدیک به صفر یا منفی است؛ این بدان معنا است که پوشش گیاهی در پاسخ به تغییرات دما تغییر محسوسی نداشته یا اندکی کم شده است. در مطالعه‌ای دیگر، همبستگی میان شاخص NDVI و مؤلفه‌های اقلیمی دما و بارش در کلانشهر تهران به ترتیب همبستگی منفی و مثبت داشت. بررسی روندها نشان داد که در پنج منطقه تهران، روند معنی‌دار کاهشی وجود دارد (Najafi et al, 2020). پژوهشگران دیگر نیز نشان دادند که در ماه آوریل از دمای کم به زیاد، شاخص پوشش گیاهی NDVI افزایش یافته است و در ماه ژوئن تا دمای یازده درجه سانتیگراد، با افزایش دما مقدار این شاخص زیاد شده و پس از آن کم شده است (Akhavan et al, 2018). به طور کلی، می‌توان استنباط کرد که در مناطق گرمی مانند استان سمنان، رویش گیاهان توسط دو عامل اقلیمی بارش و دما کنترل می‌شود.

اگرچه این امکان وجود دارد که در مناطق خشک و نیمه‌خشک که مقدار بارندگی در آن کم است؛ مانند استان سمنان یا در مناطقی که درصد رطوبت زیاد است، ارتباط حداکثری بین این شاخص و مؤلفه اقلیمی بارش مشاهده نشود؛ به عنوان مثال، در مطالعه‌ای که در دشت سیستان انجام شد، نتایج نشان داد که حساسیت شاخص پوشش‌گیاهی NDVI در مقایسه با شاخص EVI برای پویایی پوشش‌گیاهی در مناطق خشک و نیمه‌خشک بیشتر است؛ در مناطقی که حیات آنها وابسته به آب جاری باشد نه بارش (Firouzi et al, 2019). در پژوهش حاضر، ارتباط میان پوشش‌گیاهی و دمای سالانه در هر ماه بیانگر آن است که ضریب تبیین در نیمی از مساحت استان سمنان بین ۱۴٪ تا ۲۸٪ متغیر است؛ در حالی که در یک چهارم از مساحت استان این ارتباط در ماه‌های هشتم تا دوازدهم میلادی به بیش از ۴۰٪ می‌رسد. نتایج حاصل از مطالعه Ebrahimi و همکاران (2022) نشان داد که مهم‌ترین عوامل اقلیمی مؤثر بر پوشش‌گیاهی در منطقه مطالعه‌ی دارند. همچنین به ترتیب متوسط دمای کمینه و بارش ماهانه است که شاخص NDVI با این دو عامل بیشترین ارتباط را دارد. همچنین در پژوهشی دیگر، Dastorani و همکاران (2019) معتقد‌نند میزان بارندگی در برخی مناطق، مهم‌ترین عامل تغییر پوشش‌گیاهی است و عواملی مانند بافت و شوری خاک را نیز در افزایش پوشش‌گیاهی مؤثر دانستند. نتایج آنها نشان داد که بخش‌هایی از منطقه مطالعه‌ی دارند که با افزایش بارش تغییر چندانی در پوشش‌گیاهی نشان نمی‌دهند، جزء زمین‌های زراعی یا باغ‌هایی است که به دلیل چندساله بودن سبز هستند (Dastorani et al, 2019).

### نتیجه‌گیری کلی

با توجه به شرایط زیست محیطی و جغرافیایی هر منطقه، تغییرات رشد گیاه از افزایش یا کاهش مؤلفه‌های اقلیمی مانند بارش و دما تأثیر می‌پذیرد و طی بازه‌های زمانی طولانی، مختلف است. در مناطق خشک و نیمه‌خشک به دلیل شکننده بودن اکوسیستم، کاهش پوشش‌گیاهی می‌تواند پیامدهای جبران‌ناپذیری چون افزایش جابه‌جایی ذرات خاک را به همراه داشته باشد. این کار در نهایت به فرسایش بادی و افزایش گرد و غبار در منطقه منجر می‌شود. بنابراین، پژوهش حاضر به منظور بررسی و ارزیابی تغییرات ماهانه شاخص NDVI طی دوره آماری بیست ساله (۲۰۰۱-۲۰۲۰) انجام و در آن از روش‌های رگرسیون خطی و شبیه خط سن استفاده شد. همچنین در این پژوهش، به مقادیر ارتباط بین شاخص NDVI و مؤلفه‌های اقلیمی بارش و دما پس از اصلاح اربیبی پرداخته شده است. یافته‌های این پژوهش نشان داد که خروجی حاصل از شبیه خط رگرسیونی و شبیه تخمین گرسن تقریباً یکسان است. از سوی دیگر، شاخص NDVI در استان سمنان طی سال‌های ۲۰۰۱ تا ۲۰۲۰ تغییرات محسوسی نداشته؛ اگرچه در برخی نقاط دارای سیر کاهشی بوده است. ارتباط بین مؤلفه اقلیمی بارش و شاخص NDVI نشان داد که در بیش از نیمی از مساحت استان (۷۵٪)، میزان ضریب تبیین در ماه‌های نهم و دوازدهم میلادی حداکثر است؛ بدان معنا که با افزایش بارش، پوشش‌گیاهی نیز زیاد می‌شود. حداقل ارتباط میان بارش و شاخص NDVI، در ماه‌های اول تا ششم میلادی بود است و نشان می‌دهد که پوشش‌گیاهی در فصول زمستان و بهار با بارش سالانه ارتباط معناداری ندارد. در نتایج حاصل از شبیه خط رگرسیونی بین دمای سالانه و پوشش‌گیاهی ملاحظه شد که در نیمی از مساحت منطقه مورد مطالعه (۵۰٪)، تغییرات شاخص NDVI نسبت به دمای سالانه در هر ماه در حدود صفر یا منفی است که در این حالت، پوشش‌گیاهی در پاسخ به تغییرات دما تغییر چشمگیری نداشته یا حتی کاهش یافته است. به طور کلی، از عوامل کاهش پوشش‌گیاهی در استان می‌توان به موادی از قبیل کاهش بارش در سال‌های اخیر یا تغییر کاربری اراضی اشاره کرد که در این صورت لازم است

برنامه‌ریزی‌هایی اصولی در زمینه بمبود وضع موجود یا حفظ آن و ایجاد شرایط توسعه پایدار انجام شود. این احتمال وجود دارد که تغییر وضعیت پوشش‌گیاهی در برخی نقاط در سطح زمین، متأثر از نقش فعالیت‌های انسانی باشد. پیشنهاد می‌شود که در مطالعات آینده از سایر پروداکت‌های NDVI سنجش از دوری مانند ماهواره لندست و از دیگر داده‌های شبکه‌ای اقلیمی استفاده کرد تا بتوان نسبت به تغییرات پوشش‌گیاهی در سطح منطقه مطالعاتی دید دقیق‌تری داشت.

## منابع

1. Akhavan, H.; Amoushahi, S.; & A. Setudeh, 2018. An Investigation on the Same Type of Vegetation NDVI Changes in Different Temperature Levels of the Mountain (Case Study: ShirKouh Mountains), *Scientific and Research Journals Management System*, 16(1), 37-50. (In Persian).
2. Akhavan, H.; Amoushahi, S.; & A. Setudeh, 2018. An Investigation on the Same Type of Vegetation NDVI Changes in Different Temperature Levels of the Mountain (Case Study: ShirKouh mountains), *Scientific and Research Journals Management System*, 16(1), 37-50. (In Persian).
3. Allen, P. A., 2017. Sediment Routing Systems, Cambridge University Press, New York, NY.
4. Amini, E.; Zolfaghari, A.; Kaboli, H.; & M. Rahimi, 2022. Estimation of Rainfall Erosivity Map in Areas with Limited Number of Rainfall Station (Case study: Semnan Province), *Iranian Journal of Soil and Water Research*, 53(9), 2027-2044. doi: 10.22059/ijswr.2022.343710.669279 (In Persian).
5. Amjad, M.; Yilmaz, M. T.; Yucel, I.; & K. K. Yilmaz, 2020. Performance Evaluation of Satellite-and Model-Based Precipitation Products Over Varying Climate and Complex Topography, *Journal of Hydrology*, 584, 124707.
6. Avazpour, N.; Faramarzi, M.; Omidipour, R.; & H. Mehdizadeh, 2021. Monitoring the Drought Effects on Vegetation Changes Using Satellite Imagery (Case Study: Ilam Catchment), *Geography and Environmental Sustainability*, 11(4), 125-143. <https://doi.org/10.22126/ges.2022.7130.2472>
7. Beck, H.; Pan, M.; Roy, T.; Weedon, G.; Pappenberger, F.; van Dijk, A.; Huffman, G.; Adler, R.; & E. Wood, 2019. Daily Evaluation of 26 Precipitation Datasets Using Stage-IV Gauge-Radar Data for the CONUS, *Hydrology and Earth System Sciences*, 23, 207-224. <https://doi.org/10.5194/hess-23-207-2019>
8. Bližnák, V.; Pokorná, L.; & Z. Rulfová, 2022. Assessment of the Capability of Modern Reanalyses to Simulate Precipitation in Warm Months Using Adjusted Radar Precipitation, *Journal of Hydrology: Regional Studies*, 42, 101121. <https://doi.org/10.1016/j.ejrh.2022.101121>
9. Chen, Y.; Sharma, S.; Zhou, X.; Yang, K.; Li, X.; Niu, X.; Hu, X.; & N. Khadka, 2021. Spatial Performance of Multiple Reanalysis Precipitation Datasets on the Southern Slope of Central Himalaya. *Atmospheric Research*, 250, 105365. <https://doi.org/10.1016/j.atmosres.2020.105365>
10. Darvand, S.; Khosravi, H.; Eskandari Damaneh, H.; & H. Eskandari Damaneh, 2021. Investigating the Trend of NDVI Changes Derived from MODIS Sensor Imagery (Case Study: Isfahan Province), *Drnl*, 1(2), 69-79.

11. Dastorani, M.; Komaki, Ch. B.; Khosravi, H.; & Z. Ghelichipour, 2019. Investigation of the Trend of Rainfall and Vegetation Changes in Arid and Semiarid Regions (Case Study: Khorasan Razavi, Iran), *Journal of Arid Biome*, 9(1), 11-19. <https://doi.org/10.29252/aridbiom.2019.1540>
12. Diallo, M.; Ern, M.; & F. Ploeger, 2021. The advective Brewer-Dobson Circulation in the ERA5 Reanalysis: Climatology, Variability, and Trends, *Atmos. Chem. Phys.*, 21(10), 7515-7544. <https://doi.org/10.5194/acp-21-7515-2021>
13. Ding, M., Yili, Z., Liu, L., Wei, Z., Zhaofeng, W., & B. Wanqi, 2007. The Relationship Between NDVI and Precipitation on the Tibetan Plateau, *Journal of Geographical Sciences*, 17. <https://doi.org/10.1007/s11442-007-0259-7>
14. Duan, H.; Xue, X.; Wang, T.; Kang, W.; Liao, J.; & S. Liu, 2021. Spatial and Temporal Differences in Alpine Meadow, Alpine Steppe and All Vegetation of the Qinghai-Tibetan Plateau and Their Responses to Climate Change, *Remote Sensing*, 13(4), <https://doi.org/10.3390/rs13040669>
15. Duveiller, G.; Hooker, J.; & A. Cescatti, 2018. The Mark of Vegetation Change on Earth's Surface Energy Balance. *Nature Communications*, 9. <https://doi.org/10.1038/s41467-017-02810-8>
16. Ebrahimi, Z.; Roustaei, F.; & M. Soleimani sardo, 2022. Analysis of Temporal Vegetation Changes in Western Rangelands of Kerman Province Using MODIS Level 3 Data and its Relation to Climate Factors, *Journal of Arid Regions Geographic Studies*, 10(37), 40-52.
17. Fang, G. H.; Yang, J.; Chen, Y. N.; & C. Zammit, 2015. Comparing Bias Correction Methods in Downscaling Meteorological Variables for a Hydrologic Impact Study in an Arid Area in China, *Hydrol. Earth Syst. Sci.*, 19(6), 2547-2559. <https://doi.org/10.5194/hess-19-2547-2015>
18. Fang, M., 2016. Application of Bayesian Model Averaging in the Reconstruction of the Past Climate Change Using PMIP3/CMIP5 Multimodel Ensemble Simulations, *Journal of Climate*, 29, 175-189. <https://doi.org/10.1175/JCLI-D-14-00752.1>
19. Firouzi, F.; Tavosi, T.; & P. Mahmoudi, 2019. Investigating the Sensitivity of NDVI and EVI Vegetation Indices to Dry and Wet Years in Arid and Semi-Arid Regions (Case study: Sistan plain, Iran), *Geographical Data*, 28(110), 163-179. SID. <https://sid.ir/paper/253128/en>, (In Persian).
20. Garai, S.; Khatun, M.; Singh, R.; Sharma, J.; Pradhan, M.; Ranjan, A.; Rahaman, S. M.; Khan, M. L.; & S. Tiwari, 2022. Assessing Correlation Between Rainfall, Normalized Difference Vegetation Index (NDVI) and Land Surface Temperature (LST) in Eastern India, *Safety in Extreme Environments*, 4(2), 119-127. <https://doi.org/10.1007/s42797-022-00056-2>
21. Ghalami, V.; Saghafian, B.; & T. Raziei, 2022. Investigating the Effect of Bias Correction on Quality Improvement of NEX-GDDP Downscaled Precipitation Data, *Iran-Water Resources Research*, 18(1), 68-83.
22. Ghebrezgabher, M. G.; Yang, T.; Yang, X.; & T. Eyassu Sereke, 2020. Assessment of NDVI Variations in Responses to Climate Change in the Horn of Africa, *The Egyptian Journal of Remote Sensing and Space Science*, 23(3), 249-261. <https://doi.org/10.1016/j.ejrs.2020.08.003>
23. Gleixner, S.; Demissie, T.; & G. T. Diro, 2020. Did ERA5 Improve Temperature and Precipitation Reanalysis over East Africa?, *Atmosphere*, 11(9). <https://doi.org/10.3390/atmos11090996>
24. Gomis-Cebolla, J.; Rattayova, V.; Salazar-Galán, S.; & F. Francés, 2023. Evaluation of ERA5 and ERA5-Land reanalysis precipitation datasets over Spain (1951–2020), *Atmospheric Research*, 284, 106606. <https://doi.org/10.1016/j.atmosres.2023.106606>

25. Gudmundsson, L.; Bremnes, J. B.; Haugen, J.; & T. Skaugen, 2012. Technical Note: Downscaling RCM Precipitation to the Station Scale Using Quantile Mapping – A Comparison of Methods, *Hydrology and Earth System Sciences Discussions*, 9, 6185-6201. <https://doi.org/10.5194/hessd-9-6185-2012>
26. Hadian, F.; Hoseini, S. Z.; & M. Seyed Hoseini, 2015. Monitoring vegetation changes using precipitation data and satellite images in north-west of Iran, *IJRDR*, 21(4), 756-768. <https://doi.org/10.22092/ijrdr.2016.13078>
27. Hamm, A.; Arndt, A.; Kolbe, C.; Wang, X.; Thies, B.; Boyko, O.; Reggiani, P.; Scherer, D.; Bendix, J.; & C. Schneider, 2020. Intercomparison of Gridded Precipitation Datasets over a Sub-Region of the Central Himalaya and the Southwestern Tibetan Plateau, *Water*, 12(11). <https://doi.org/10.3390/w12113271>
28. Holben, B. N., 1986. Characteristics of maximum-value composite images from temporal AVHRR data, *International Journal of Remote Sensing*, 7(11), 1417-1434. <https://doi.org/10.1080/01431168608948945>
29. Hu, M., & Xia, B., (2019). A significant increase in the normalized difference vegetation index during the rapid economic development in the Pearl River Delta of China. *Land Degradation & Development*. 30(4), 359-370.
30. Hu, Q.; Li, Z.; Wang, L.; Huang, Y.; Wang, Y.; & I. Li, 2019. Rainfall spatial estimations: A review from spatial interpolation to multi-source data merging, *Water*, 11(3), 579.
31. Huang, C.; Yang, Q.; Guo, Y.; Zhang, Y.; & I. Guo, 2020. The pattern, change and driven factors of vegetation cover in the Qin Mountains region, *Scientific Reports*, 10. <https://doi.org/10.1038/s41598-020-75845-5>
32. Huth, R., & R. Beranova., (2021). How to Recognize a True Mode of Atmospheric Circulation Variability. *Earth and Space Science*. 8. <https://doi.org/10.1029/2020EA001275>
33. Jia, L.; Li, Z.; Xu, G.; Ren, Z.; Li, P.; Cheng, Y.; Zhang, Y.; Wang, B.; Zhang, J.; & S. Yu, 2020. Dynamic change of vegetation and its response to climate and topographic factors in the Xijiang River basin, China, *Environmental Science and Pollution Research*, 27(11), 11637-11648. <https://doi.org/10.1007/s11356-020-07692-w>
34. Kolachian, R.; Saghafian, B.; & S. Moazami, 2021. Evaluation of Post-Processing and Bias Correction of Monthly Precipitation and Temperature Forecasts in Karun Basin, *Iran-Water Resources Research*, 16(4), 98–111.
35. Li, H.; Li, Y.; Gao, Y.; Zou, C.; Yan, S.; & J. Gao, 2016. Human Impact on Vegetation Dynamics around Lhasa, Southern Tibetan Plateau, China, *Sustainability*, 8, 1146. <https://doi.org/10.3390/su8111146>
36. Muñoz-Sabater, J.; Dutra, E.; Agustí-Panareda, A.; Albergel, C.; Arduini, G.; Balsamo, G.; Boussetta, S.; Choulga, M.; Harrigan, S.; Hersbach, H.; Martens, B.; Miralles, D. G.; Piles, M.; Rodríguez-Fernández, N. J.; Zsoter, E.; Buontempo, C.; & J. N. Thépaut, 2021. ERA5-Land: A state-of-the-art global reanalysis dataset for land applications, *Earth Syst. Sci. Data*, 13(9), 4349-4383. <https://doi.org/10.5194/essd-13-4349-2021>
37. Muñoz-Sabater, J.; Lawrence, H.; Albergel, C.; Rosnay, P.; Isaksen, L.; Mecklenburg, S.; Kerr, Y.; & M. Drusch, 2019. Assimilation of SMOS brightness temperatures in the ECMWF Integrated Forecasting System, *Quarterly Journal of the Royal Meteorological Society*, 145(723), 2524-2548. <https://doi.org/10.1002/qj.3577>

38. Najafi, Z.; Darvishsefat, A.; Fatehi, P.; & P. Attarod, 2020. Time series analysis of vegetation dynamic trend using Landsat data in Tehran Megacity, *Iranian Journal of Forest*, 12(2), 257-270, (In Persian).
39. Nogueira, M., 2020. Inter-comparison of ERA-5, ERA-interim and GPCP rainfall over the last 40 years: Process-based analysis of systematic and random differences, *Journal of Hydrology*, 583, 124632. <https://doi.org/10.1016/j.jhydrol.2020.124632>
40. Pelosi, A.; Terribile, F.; D'Urso, G.; & G. B. Chirico, 2020. Comparison of ERA5-Land and UERRA MESCAN-SURFEX Reanalysis Data with Spatially Interpolated Weather Observations for the Regional Assessment of Reference Evapotranspiration, *Water*, 12(6). <https://doi.org/10.3390/w12061669>
41. Reichle, R. H.; Draper, C. S.; Liu, Q.; Girotto, M.; Mahanama, S. P. P.; Koster, R. D.; & G. J. M. De Lannoy, 2017. Assessment of MERRA-2 Land Surface Hydrology Estimates, *Journal of Climate*, 30(8), 2937-2960. <https://doi.org/10.1175/JCLI-D-16-0720.1>
42. Sam Khaniani, A., & A. Mohammadi., (2022). Comparison of ERA5-Land reanalysis data with surface observations over Iran. *Iranian Journal of Geophysics*. 16(1), 195-212. <https://doi.org/10.30499/ijg.2022.313494.1376>
43. Shabanipoor, M.; Darvish Sefat, A. A.; & R. Rahmani., 2019. Long-term trend analysis of vegetation changes using MODIS-NDVI time series during 2000-2017 (Case study: Kurdistan province), *Journal of Forest and Wood Products*, 72(3), 193-204.
44. Shafei, H., & S. M. Hosseini., (2011). A study of vegetation in Sistan region through satellite data. 3(9), 91-105, *Iranian Journal of Plant Ecophysiology*, SID. <https://sid.ir/paper/188374/fa>. (In Persian).
45. Shen, M.; Piao, S.; Chen, X.; An, S.; Fu, Y. H.; Wang, S.; Cong, N.; & I. A. Janssens, 2016. Strong impacts of daily minimum temperature on the green-up date and summer greenness of the Tibetan Plateau, *Global Change Biology*, 22(9), 3057-3066. <https://doi.org/10.1111/gcb.13301>
46. Sheridan, S. C.; Lee, C. C.; & E. T. Smith, 2020. A Comparison Between Station Observations and Reanalysis Data in the Identification of Extreme Temperature Events, *Geophysical Research Letters*, 47(15), e2020GL088120. <https://doi.org/10.1029/2020GL088120>
47. Spadoni, G. L.; Cavalli, A.; Congedo, L.; & M. Munafò, 2020. Analysis of Normalized Difference Vegetation Index (NDVI) multi-temporal series for the production of forest cartography, *Remote Sensing Applications: Society and Environment*, 20, 100419. <https://doi.org/10.1016/j.rsase.2020.100419>
48. Stefanidis, K.; Varlas, G.; Vourka, A.; Papadopoulos, A.; & E. Dimitriou, 2021. Delineating the relative contribution of climate related variables to chlorophyll-a and phytoplankton biomass in lakes using the ERA5-Land climate reanalysis data, *Water Research*, 196, 117053. <https://doi.org/10.1016/j.watres.2021.117053>
49. Sun, Q.; Miao, C.; Duan, Q.; Ashouri, H.; Sorooshian, S.; & K. L. Hsu, 2018. A review of global precipitation data sets: Data sources, estimation, and intercomparisons, *Reviews of Geophysics*, 56(1), 79-107.
50. Tao, J.; Xu, T.; Dong, J.; Yu, X.; Jiang, Y.; Zhang, Y.; Huang, K.; Zhu, J.; Dong, J.; & Y. Xu, 2018. Elevation-dependent effects of climate change on vegetation greenness in the high mountains of southwest China during 1982–2013, *International Journal of Climatology*, 38(4), 2029-2038.

51. Tarek, M.; Brissette, F. P.; & R. Arsenault, 2020. Evaluation of the ERA5 reanalysis as a potential reference dataset for hydrological modelling over North America, *Hydrol. Earth Syst. Sci.*, 24(5), 2527-2544. <https://doi.org/10.5194/hess-24-2527-2020>
52. Wang, Y. R.; Hessen, D. O.; Samset, B. H.; & F. Stordal, 2022. Evaluating global and regional land warming trends in the past decades with both MODIS and ERA5-Land land surface temperature data, *Remote Sensing of Environment*, 280, 113181. <https://doi.org/10.1016/j.rse.2022.113181>
53. Weedon, G. P.; Gomes, S.; Viterbo, P.; Shuttleworth, W. J.; Blyth, E.; Österle, H.; Adam, J. C.; Bellouin, N.; Boucher, O.; & M. Best, 2011. Creation of the WATCH Forcing Data and Its Use to Assess Global and Regional Reference Crop Evaporation over Land during the Twentieth Century. *Journal of Hydrometeorology*, 12(5), 823-848. <https://doi.org/10.1175/2011JHM1369.1>
54. Zakeri, A.; Naderi, R.; & V. Poozesh, 2020. An investigation of plant species distribution in Semnan province (Case study: Herbarium of Damghan University), *Journal of Plant Research (Iranian Journal of Biology)*, 33 (4), 891-913, (In Persian).
55. Zhang, Y.; Jiang, X.; Lei, Y.; & S. Gao, 2022. The contributions of natural and anthropogenic factors to NDVI variations on the Loess Plateau in China during 2000–2020, *Ecological Indicators*, 143, 109342. <https://doi.org/10.1016/j.ecolind.2022.109342>
56. Zhe, M., & X. Zhang., (2021). Time-lag effects of NDVI responses to climate change in the Yamzhog Yumco Basin, South Tibet. *Ecological Indicators*. 124, 107431. <https://doi.org/10.1016/j.ecolind.2021.107431>

# Estimation of Vegetation Changes Concerning Annual Rainfall and Temperature in Semnan Province

**Maryam Raeesi:** PhD Student, Faculty of Desert Studies, Department of Combat to Desertification, Semnan University, Semnan

**Aliasghar Zolfaghari<sup>1</sup>:** Associate Professor, Faculty of Desert Studies, Department of Desert and Arid Land Management, Semnan University, Semnan

**Mohammad Rahimi:** Professor, Faculty of Desert Studies, Department of Combat to Desertification, Semnan University, Semnan

**Seyed Hasan Kaboli:** Assistant Professor, Faculty of Desert Studies, Department of Desert and Arid Land Management, Semnan University

Article History (Received: 15/07/2023)

Accepted: 20/09/2023)

## Extended abstract

### 1- Introduction

Vegetation is one of the most important components of terrestrial ecosystems, which plays a vital role in carbon regulation and balancing, energy exchange and climate stability. Also, temperature and rainfall are the most important influential factors in changing the vegetation index, NDVI. Understanding the relationship between rainfall, NDVI and temperature is essential in forestry planning over each region. Accordingly, the main objectives of this research are 1) to monitor the annual changes of NDVI from 2001 to 2020 using linear regression's slope and Sen's slope estimator methods, and 2) to investigate and determine the relationship between NDVI and the climatic components, specifically rainfall and temperature, in Semnan province.

### 2- Methodology

Semnan province was selected as the study area to evaluate the relationship between climatic components and vegetation cover by using remote sensing data. The NDVI data was extracted from the Terra MODIS product in a spatial resolution of 500 meters and was processed to evaluate vegetation changes in Semnan province during the years between 2001 and 2020 on monthly scale. After that, the monthly rainfall and temperature data were obtained from both synoptic and climatology stations; then they were converted into annual scale. Furthermore, the rainfall and temperature reanalysis grid-base data, ERA5-Land, was downloaded in about 9 km spatial resolution from 2001 to 2020. Reanalysis data usually contains systematic error compared to observational data, which can affect the output results and requires to be corrected. Consequently, we utilized one of the recent bias-correction approaches, the Quantile Mapping (QM) bias-correction method, to correct biases over the entire distribution of the rainfall and temperature reanalysis data. At this point, each set of the rainfall and temperature grid-based data was resampled to 500 meters based on the spatial resolution of NDVI pixels. Next, each series of rainfall and temperature data were corrected based on QM method from the years 2001 to 2020 according to the availability of the NDVI time series data. The relationship between annual rainfall and temperature with the NDVI was calculated in each month of the year (2001-2020). In this study, linear regression and the non-parametric method of the Sen's slope estimator were used to investigate the changes in NDVI trend for each pixel from 2001 to 2020. Finally, to check the accuracy of the relationship between vegetation, temperature and rainfall, the coefficient of determination was used.

<sup>1</sup>[azolfaghari@semnan.ac.ir](mailto:azolfaghari@semnan.ac.ir)

### 3- Results

The linear regression's slope indicated that 25% of Semnan's area had vegetation variations close to zero in each month during the years 2001 to 2020. It means that NDVI values did not change significantly and it was almost unchanged. Moreover, based on the Sen's slope estimator, the results showed that there was no noticeable change in decreasing or increasing the amount of vegetation in about 75% of Semnan's area. The analyses also showed that the coefficient of determination between NDVI and rainfall varied from 18% to 44% in different months, and the highest relationship values were observed in September and December. Moreover, in more than 50% of the Semnan's area, the relationship between NDVI and rainfall has varied from zero to more than 42%. The results indicated that vegetation cover has no significant relationship with annual rainfall in both winter and spring. Furthermore, in 50% of the study area, the estimated NDVI variation indicated zero or negative values in each month, which confirms that the vegetation cover has not changed significantly or it has decreased slightly in response to the temperature.

### 4- Discussion

In recent years, the evaluation of changes in NDVI time series has been developed by using satellite images and remote sensing techniques. In addition, the climate components like rainfall and temperature are among the factors affecting the growth of vegetation cover, which has attracted the attention of many researchers. By considering the linear regression's slope and Sen's slope estimator, the results showed that NDVI did not change significantly during the years 2001 to 2020 in Semnan province, but it decreased in some areas. Moreover, the effect of rainfall and temperature demonstrated that vegetation has either direct or indirect relationships with rainfall or temperature in some months (positive or negative values, respectively). The linear regression' slope between annual temperature and NDVI showed that in 50% of Semnan's area, NDVI variation was estimated to be nearly zero or negative in each month. Generally, in arid regions like Semnan province, the growth of plants is controlled by two climatic factors, rainfall and temperature. In arid and semi-arid regions (where the amount of rainfall is low, such as Semnan province), or in regions where the percentage of humidity is high, the maximum relationship between NDVI and the rainfall was not observed.

### 5- Conclusions

In arid and semi-arid regions, due to the fragility of the ecosystem, the reduction of vegetation cover can have irreparable consequences such as increasing the movement of soil particles. This action will eventually lead to wind erosion and will increase dust in the region. Therefore, the present study was conducted to evaluate the monthly changes of NDVI from 2001 to 2020 by the linear regression's slope and Sen's slope methods. In addition, the relationship between NDVI and climatic components of rainfall and temperature were discussed. The findings showed that results of the linear regression's slope and Sen's slope estimator are both almost the same. The relationship between rainfall and NDVI indicated that in 75% of Semnan's area, the estimated value of coefficient of determination had the highest value in September and December. It means that with the increase of rainfall, vegetation cover also increases. Based on the linear regression's slope between the annual temperature and NDVI, it was observed that in almost 50% of the study area, NDVI variations were approximately estimated to be zero or negative in each month, which means the vegetation cover has not significantly changed or even decreased by changing temperature. In future studies, it is suggested to use other remote sensing NDVI products such as Landsat satellite and even other climate reanalysis data to have a more accurate view of vegetation cover changes in the study area.

**Key Words:** Climatic components of rainfall and temperature, ERA5-Land reanalysis data, NDVI index variations, The gradient of the linear regression, The slope of the Sen's estimator.